



г. Дубна

ОБЪЕДИНЕННЫЙ ИНСТИТУТ ЯДЕРНЫХ ИССЛЕДОВАНИЙ

6-80-101

ВЫЛОВ
Цветан Димитров

РАЗРАБОТКА И ПРИМЕНЕНИЕ МЕТОДОВ ПРЕЦИЗИОННОЙ СПЕКТРОМЕТРИИ ДИСКРЕТНЫХ ИЗЛУЧЕНИЙ С ПОМОЩЬЮ ПОЛУПРОВОДНИКОВЫХ ДЕТЕКТОРОВ

Специальность 01.04.16 - физика атомного ядра
и элементарных частиц

Автореферат диссертации на соискание ученой
степени доктора физико-математических наук

Дубна 1980

Работа выполнена в Лаборатории ядерных проблем Объединенного института ядерных исследований.

Официальные оппоненты:

доктор физико-математических наук, профессор А.Г.Зеленков
(ИАЭ им.И.В.Курчатова)

доктор физико-математических наук, профессор Ю.А.Шербаков
(ОИЯИ)

доктор физико-математических наук, профессор А.И.Феоктистов
(ИЭИ АН УССР, Киев)

Ведущее научно-исследовательское учреждение - Московский инженерно-физический институт.

Зщита диссертации состоится "___" ____ в ____ час. на заседании специализированного совета Д047.01.03 при ЛЯП ОИЯИ г.Дубна, Московской области.

Автореферат разослан "___" ____ 1980 г.

С диссертацией можно ознакомиться в библиотеке ОИЯИ.

Ученый секретарь специализированного совета
кандидат физико-математических наук

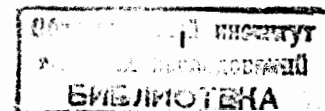
Ю.А.Батусов

Актуальность проблемы. Создание и совершенствование полупроводниковых детекторов (ПД) имело принципиальное значение в задачах спектрометрии излучений радионуклидов. Хорошее энергетическое разрешение и высокая эффективность, относительная простота при постановке эксперимента и возможность применения ЭВМ при обработке данных обеспечили массовый поток новой и более точной информации. Сегодня ПД стали главным инструментом в физике низких энергий.

Методика измерения энергий и интенсивностей излучений основана на сравнении аппаратурных спектров исследуемого и эталонного нуклидов. К сожалению, в настоящее время не существует полноценного и согласованного набора нормалей энергий и интенсивностей дискретных излучений, набора, который являлся бы обязательным международным стандартом при проведении сравнительных измерений. Таким образом, несмотря на то, что измерения могут проводиться с прецизионной точностью (в том смысле, что погрешности измеряемых величин сравнимы с погрешностями нормалей), результаты этих измерений в каждом случае зависят от выбора эталонов.

Возникает вопрос - каким же образом можно использовать возможности, которые предоставляет нам техника спектрометрии на сегодняшний день, чтобы не оказаться в аналогичной ситуации в будущем. По нашему мнению, единственным путем является разработка последовательной методики измерения с четкой моделью расчета погрешностей и применение согласованного набора нормалей дискретных излучений. Тогда изменения, которые могут в дальнейшем произойти, достаточно просто можно связать с имеющимися данными.

Цель работы. Успех решения проблемы прецизионной спектроскопии в значительной мере зависит от качества спектрометрической аппаратуры и организации эксперимента с широким применением вычислительной техники. Поэтому первый этап реализации программы был связан с решением этой задачи. Затем была разработана методика прецизионной спектрометрии и, наконец, с её помощью построен



согласованный набор нормалей энергий и интенсивностей γ -лучей и электронов внутренней конверсии (ЭВК), а также коэффициентов внутренней конверсии (КВК).

Второй этап был связан с применением разработанной методики для решения нескольких актуальных задач ядерной спектроскопии. Это, во-первых, создание атласа аппаратурных спектров α -, β -, γ - и X-излучений. Во-вторых, - получение высококачественных экспериментальных данных об энергиях и интенсивностях дискретных излучений радионуклидов, удовлетворяющих сформулированным выше требованиям. Успешное решение этой задачи лежит в основе современных кибернетических систем осмысливания данных. В-третьих, это - исследование свойств нечетных ядер самария и европия переходной области $A \sim 145\text{--}151$, удовлетворительного теоретического описания которых нет, и потому требующее более полного, точного и надежного экспериментального материала. И, наконец, новое измерение энергии связи дейтрона. Это, в какой-то мере, пример применения ПДД в новой и исключительно перспективной области - прецизионные измерения энергий γ -лучей в различных физических процессах (захват нейтрона и определение энергий связи последнего нейтрона; мезорентгеновские спектры и определение массы мезонов и зарядового распределения ядер и т.д.).

Научная новизна работы заключается в следующем:

1. На основе всестороннего анализа роли всех элементов спектрометра с ПДД создан современный комплекс аппаратуры для исследования дискретных излучений, параметры которого находятся на уровне лучших достижений.

2. Разработана оригинальная методика прецизионных измерений энергий и интенсивностей дискретных излучений, а также соответствующее программное обеспечение.

3. С помощью этой методики построен согласованный набор нормалей энергий и интенсивностей γ -лучей и ЭВК, а также КВК.

4. Создан атлас из 500 аппаратурных спектров альфа-, бета-, гамма- и рентгеновского излучений для 200 радионуклидов.

5. С применением разработанной методики с различной степенью полноты исследован радиоактивный распад 180 нуклидов (включенных в атлас), в ряде случаев - впервые. Открыто более 1000 новых переходов. В той или иной степени полученные данные использованы при разработке или уточнении 100 схем распада.

6. Детально, с применением практически всех методов классической спектроскопии, исследован радиоактивный распад нечетных нуклидов европия ($A = 145, 147, 149$) и гадолиния ($A = 147, 149, 151$).

Обнаружено более 110 новых переходов и впервые измерены интенсивности более 40 конверсионных линий. Впервые с высокой точностью (2-3%) измерены КВК наиболее интенсивных переходов при распаде ^{149}Eu , ^{149}Ga и ^{151}Ga . В схемах распада введено 20 новых состояний, подтверждено 23 и исключено более 10 уровней, предположительно введенных ранее разными авторами. Впервые определены квантовые характеристики 14 состояний.

7. Впервые по пику полного поглощения при регистрации в $\text{Ge}(\text{Li})$ -детекторах γ -лучей от захвата тепловых нейтронов водородом выполнено измерение энергии связи дейтрона.

Практическую ценность работы можно сформулировать следующим образом:

1. Выбранные в процедуре оптимизации параметры системы ПДД позже были применены при изготовлении спектрометров для целого ряда других экспериментов, в том числе и вне ОИЯИ.

2. Опыт эксплуатации комплекса спектрометрической аппаратуры лежит в основе организации в нашей Лаборатории иерархической системы сбора, обработки и анализа спектрометрической информации.

3. Набор нормалей энергий и интенсивностей γ -лучей и ЭВК, а также КВК до настоящего времени является практически единственным (за исключением γ -лучей), который позволяет проводить эксперименты по прецизионной спектроскопии.

4. Роль атласа аппаратурных спектров и систематизированных данных об α -, β -, γ - и X-излучениях радионуклидов трудно переоценить как в задачах планирования новых экспериментов и исследования свойств возбужденных состояний ядер, так и при решении ряда практических задач.

5. Анализ данных о возбужденных состояниях нечетных ядер самария и европия позволяет проследить плавный переход от сферических к деформированным состояниям с ростом N .

6. Новое значение энергии связи дейтрона повлечет за собой изменение величины $m_n - m_p$.

Объем и структура работы. Диссертация состоит из введения, четырех глав и заключения, изложенных на 287 страницах, включая 137 рисунков и 57 таблиц (на 104 страницах) и 268 библиографических ссылок, разделенных по главам (на 17 страницах).

Апробация работы и публикации по теме диссертации. Результаты исследований докладывались на XI + XУ международных совещаниях по ядерной спектроскопии и теории ядра в Дубне (1969, 1971, 1973, 1975, 1978 гг.), на всесоюзных ежегодных XIX – XXIX совещаниях по ядерной спектроскопии и структуре атомного ядра (1969–1979 гг.), а также обсуждались на семинарах научно-экспериментального отдела ядерной спектроскопии и радиохимии ЛЯИ ОИЯИ. Основные результаты опубликованы в 24 работах (в виде препринтов и сообщений ОИЯИ; в сборнике "Прикладная ядерная спектроскопия" – Атомиздат; в препринте Центрального института ядерных исследований – Россендорф, ГДР; в книге изд. ФАН; в журналах ЭЧАЯ, Известия АН СССР, "Ядерная физика") и 2 сборниках тезисов докладов.

КРАТКОЕ СОДЕРЖАНИЕ РАБОТЫ

Во введении кратко рассматривается актуальность проблемы разработки методики прецизионной спектрометрии излучений радионуклидов и её применение в практике физического эксперимента, а такжедается обзор диссертации по главам.

В первой главе изложены результаты разработок и исследований характеристик спектрометров с ПШД, а также аппаратурная организация ядерно-спектроскопических экспериментов по измерению спектров дискретных излучений /10, 17/.

Проведен систематический анализ структурной схемы /5, 10/ и сформулированы требования, предъявляемые к элементам спектрометра с ПШД. На этой основе реализованы оптимальные условия для каждой конкретной системы детектор-предусилитель.

Хотя, к настоящему времени и имеются некоторые достижения в технологии изготовления детекторов из GaAs и CdTe, требованиям эксперимента пока удовлетворяют только детекторы из Si и Ge. Нами применялись детекторы, изготовленные в груше Б.П.Осипенко и в ряде случаев – с непосредственным участием автора. Для обеспечения оптимального температурного режима значительное внимание уделялось вопросам упаковки детекторов и конструкции первого кас-

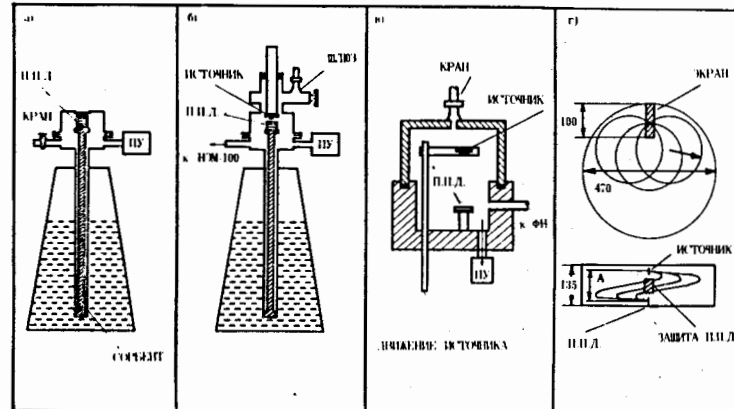


Рис. 1. Конструкции спектрометров с ПШД для исследования характеристик излучения радиоактивных нуклидов.

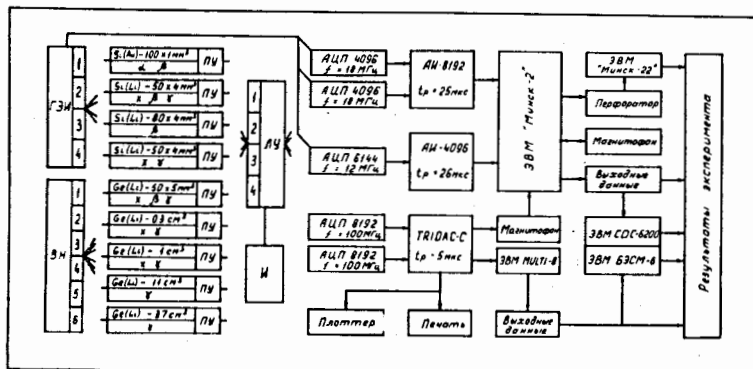


Рис. 2. Спектрометрическая аппаратура для исследования характеристик излучений радионуклидов (1974 г): f – частота генераторной серии аналого-цифрового преобразователя (АЦП); t_p – время обращения к запоминающему устройству (ЗУ); И – интенсиметр; ЛУ – линейный усилитель; ГЭИ – генератор эталонных импульсов для стабилизации усиления спектрометрического тракта; ВН – источник высокого напряжения для питания ПШД; ПУ – предусилитель

№ ПРИДАТОК	ПАРАМЕТРЫ	ЭНЕРГЕТИЧЕСКОЕ РАСПРЕДЕЛЕНИЕ /НЭЗ/						ОБЛАСТЬ ПРИМЕНЕНИЯ НЭЗ/	
		$E_0 = 5 \text{ кВ}$	$E_0 = 100 \text{ кВ}$	$E_0 = 5 \text{ кВ}$	$E_0 = 100 \text{ кВ}$	$E_0 = 1,5 \text{ кВ}$			
1	Si(Au)	σ	300	π	$100 \text{ см}^2 \times 0,5 \text{ мм}$	0,5 мВ	250 В	15	-
2	Si(Au)	ρ	300	π	$60 \text{ см}^2 \times 2 \text{ мм}$	2 мВ	1000 В	-	-
3	Si(Li)	ρ	77	π	$60 \text{ см}^2 \times 4 \text{ мм}$	4 мВ	1500 В	-	0,600
4	Ge(Li,Au)	ρ	77	π	$60 \text{ см}^2 \times 4 \text{ мм}$	4 мВ	1200 В	-	1,3
5	Si(Li)	χ	77	π	$50 \text{ см}^2 \times 4 \text{ мм}$	4 мВ	1500 В	-	-
6	Ge	γ	77	π	$25 \text{ см}^2 \times 5 \text{ мм}$	5 мВ	1200 В	-	0,150
7	Ge(Li)	γ	77	π	$1,3 \text{ см}^3$	8 мВ	1500 В	-	-
8	Ge(Li)	γ	77	π	$200 \text{ см}^2 \times 1,5 \text{ мм}$	5 мВ	1000 В	-	0,200
9	Ge	γ	77	π	$300 \text{ см}^2 \times 7 \text{ мм}$	7 мВ	1500 В	-	0,250
10	Ge(Li)	γ	77	A	11 см^3	12 мВ	2500 В	-	-
11	Ge(Li)	γ	77	Γ	37 см^3	15 мВ	5000 В	-	-
12	Ge(Li)	γ	77	B	38 см^3	16 мВ	3000 В	-	-
13	Ge(Li)	γ	77	B	50 см^3	18 мВ	5000 В	-	-
14	Ge(Li)	γ	77	A	18 см^3	8 мВ	900 В	-	-

Таблица Ia. Полупроводниковые детекторы для прецизионной спектрометрии дискретных излучений радионуклидов (1975 - 1976 гг.). Конфигурации различных ППД показаны в табл. Iб.

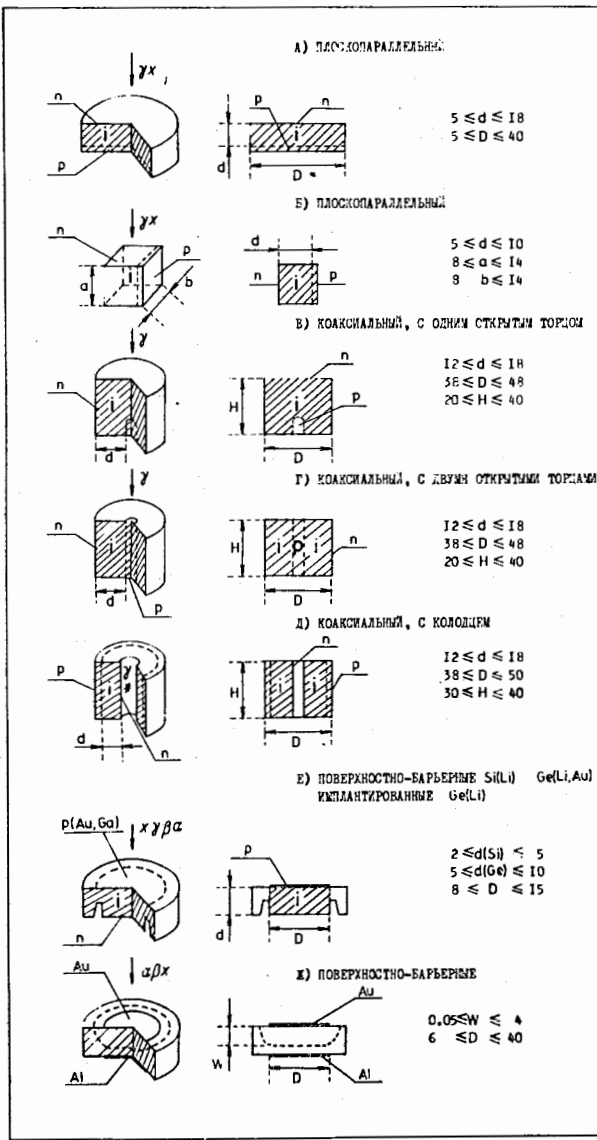


Таблица Iб. Конфигурация различных ППД (см. табл. Ia).

када предусилителя, который, как правило, располагался внутри криостата.

Конструкции спектрометров разрабатывались с учетом особенностей регистрации альфа-, бета-, гамма- и X-излучений - рис. I. Спектрометры с входными окнами сделаны на основе криостата с хладопроводом и сорбентом, который погружается в стандартный сосуд Дьюара с жидким азотом. Вакуум же в камерах спектрометров заряженных частиц создается с помощью системы на базе магнитного электроразрядного насоса НОРД-100. Предусмотрена возможность замены источника без нарушения вакуума, причем процедура замены составляет 3-5 минут.

Исходя из условий физической задачи, мы применяли различные комбинации детекторов, спектрометрических каналов и регистрирующей аппаратуры. Выбор электронных блоков осуществлялся на основании следующих требований: получение оптимального отношения сигнал/шум, хорошие загрузочные характеристики (до $5 \cdot 10^4$ имп./с), температурная стабильность и линейность.

В зависимости от уровня применяемой техники можно указать три этапа в создании комплекса спектрометрической аппаратуры:

а) первый (1969-1974 гг.) - разработка, изготовление и исследование различных типов ПЩД, а также блоков аналоговой электроники для задач прецизионной спектрометрии излучений радионуклидов;

б) второй (1974-1979 гг.) - доведение всех параметров спектрометрического комплекса до лучшего уровня;

в) третий (начало реализации 1978 г.) - организация иерархической системы сбора, обработки и анализа спектрометрической информации на базе современной вычислительно-измерительной техники (ЭВМ ЕС-1040, ЕС-1010 и ИЗОТ-310).

Основная работа по созданию современного комплекса спектрометрической аппаратуры была выполнена на первом этапе (рис.2). Систематизированные характеристики ПЩД и ПУ, а также некоторые характерные аппаратурные спектры приведены в табл. I и на рис. 3-8, соответственно. На втором этапе в работе были использованы коммерческие детекторы (из сверхчистого Ge и Ge(Li)-детекторы с высокой эффективностью) с высоким энергетическим разрешением, параметры которых недостижимы в наших условиях, а также блоки аналоговой электроники некоторых фирм (ORTEC , EG&G , Polon) и анализаторы DIFAC-4000 (Intertechnique). Третий этап является ло-

гическим продолжением начатой работы, однако детальное его описание выходит за рамки настоящей диссертации.

В конце главы описана методика проверки качества системы в целом и систематизированы эффекты, влияющие на энергетическое разрешение спектрометра с ПЩД.

Во второй главе изложена методика прецизионной спектроскопии дискретных излучений радионуклидов с помощью ПЩД /12,13,17/.

Точность измерения энергий и интенсивностей дискретных излучений в значительной степени связана с применением ЭВМ для обработки спектральных линий. Существуют различные способы моделирования пиков, однако вследствие математической простоты, очевидности физической интерпретации параметров и минимальных требований к объему памяти и быстродействию ЭВМ наиболее широкое применение получила аппроксимация пика симметричным гауссианом. В наших экспериментах этот подход реализован с помощью программы "Каток" *. Для правильного выбора условий измерения исследованы точность и достоверность результатов обработки от различных параметров модели /11/.

Важным элементом методики прецизионной спектрометрии является учет эффектов, искажающих форму аппаратурного спектра /11/. В качестве иллюстрации на рис. 9 показан спектр γ -лучей ^{139}Ce , измеренный с помощью $200 \text{ mm}^2 \times 5 \text{ mm}$ Ge(Li)-детектора (источник нанесен на медной подложке толщиной 500 мкм). При распаде ^{139}Ce имеется всего один γ -переход (165,9 кэВ), в аппаратурном же спектре наблюдаем более 20 пиков, преобладающая часть которых связана с искажающими форму спектра эффектами. В диссертации проведен полный анализ этих эффектов и сформулированы рекомендации для их устранения.

Методика измерения энергий и интенсивностей дискретных излучений предполагает предварительное исследование нелинейности и эффективности спектрометра в заранее выбранных условиях (коэффициенты усиления, фильтры поглощения и т.д.). Энергетическая калибровка осуществляется с помощью прямой, параметры которой находят методом наименьших квадратов (программа "FUMIL" **) для

* В.Гаджиков. ПТЭ, № 5 (1970) 82.

** И.Н.Силин. ОИЯИ, II-3362, Дубна, 1967.

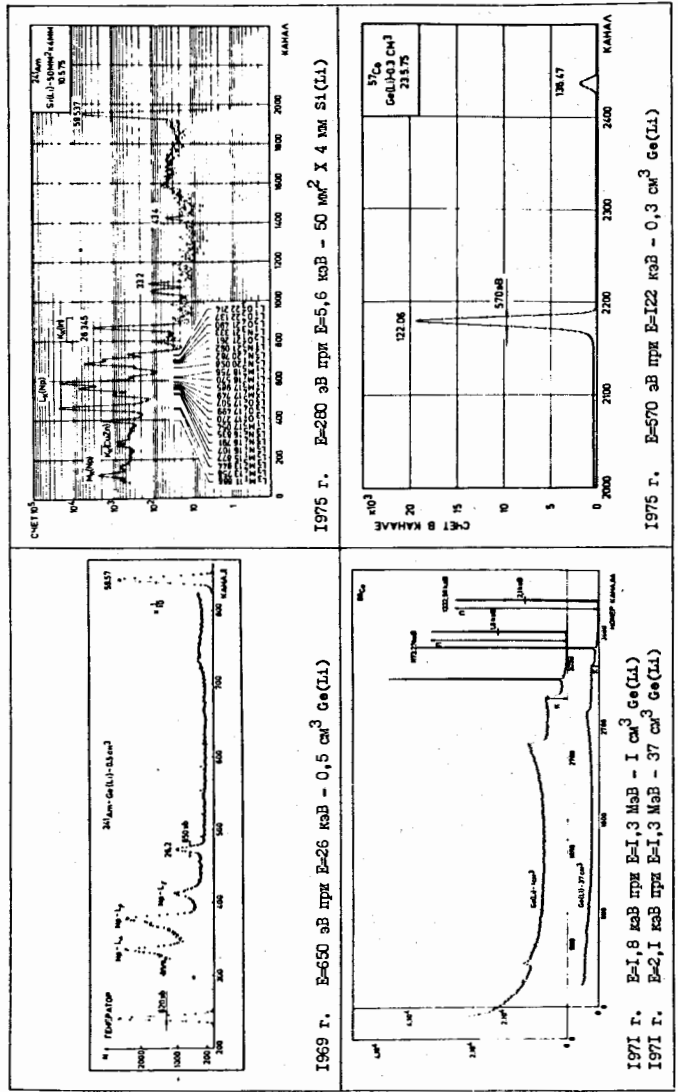


Рис. 3. Характерные аппаратурные спектры гамма-лучей, измеренные с помощью ПДЦ.

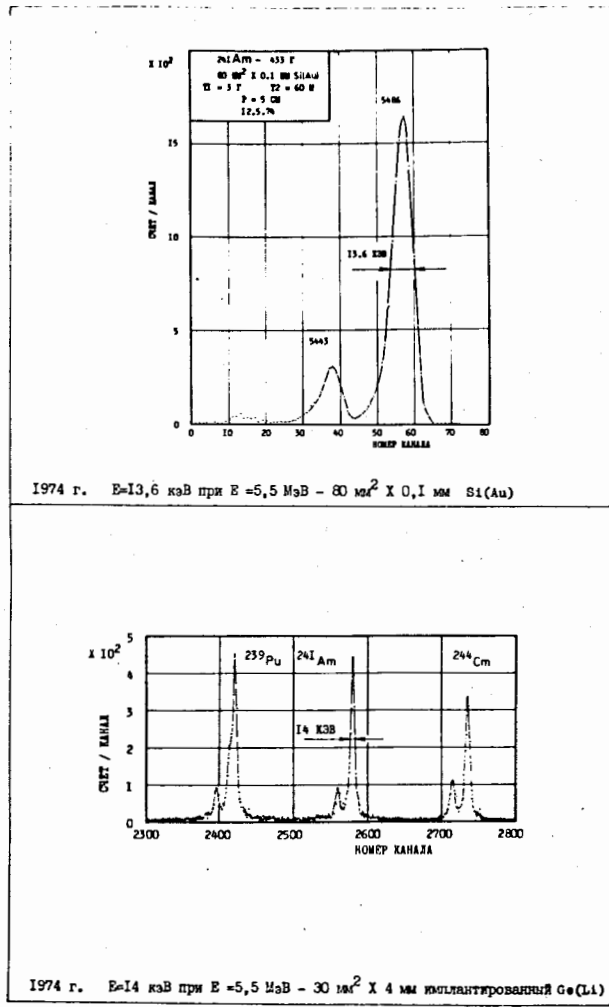


Рис. 4. Характерные аппаратурные спектры альфа-частиц, измеренные с помощью ППД.

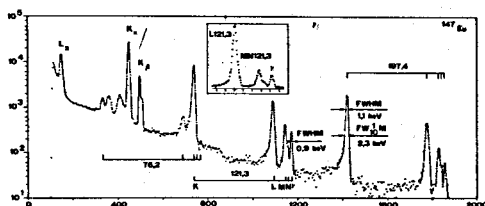


Рис. 5. Фрагмент аппаратурного спектра излучений ^{147}Eu , измеренный с помощью $50 \text{ mm}^2 \times 4 \text{ mm}$ Si(Li) - детектора (1973 г. - $\Delta E = I, I \text{ кэВ}$ при $E_e \sim 100 \text{ кэВ}$).

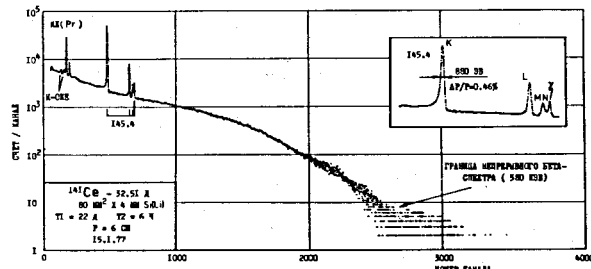


Рис. 6. Аппаратурный спектр излучений ^{141}Ce , измеренный с помощью $80 \text{ mm}^2 \times 4 \text{ mm}$ Si(Li) - детектора (1977 г. - $\Delta E = 880 \text{ эВ при } E_e \sim 100 \text{ кэВ}$).

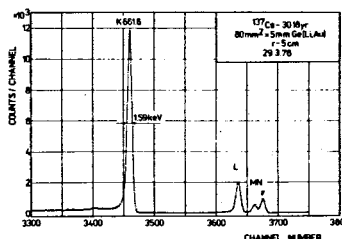


Рис. 7. Фрагмент аппаратурного спектра излучений ^{137}Cs , измеренный с помощью $80 \text{ mm}^2 \times 5 \text{ mm Ge(Li,Au)}$ -детектора (1976 г. - $\Delta E = 1,59 \text{ кэВ}$ при $E_e \sim 600 \text{ кэВ}$).

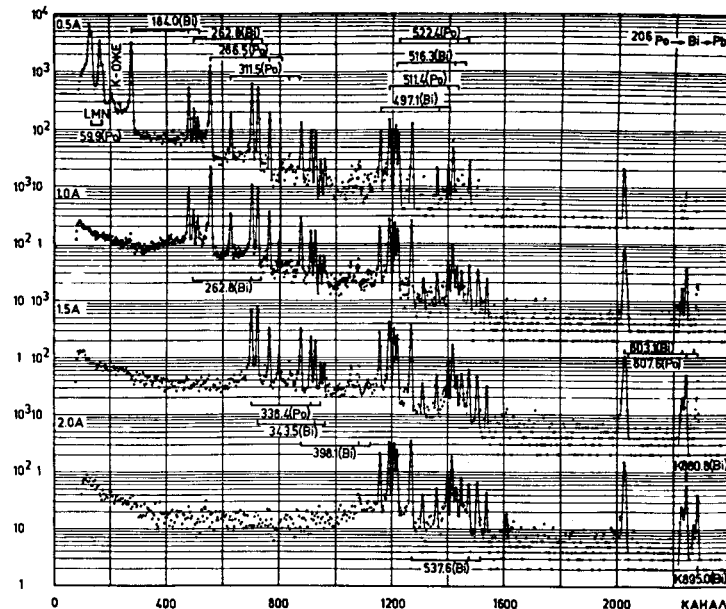


Рис. 8. Спектр ЭВК $^{206}\text{Po} + ^{206}\text{Bi}$, измеренный с помощью Si(Li)-детектора. Для фильтрации сопровождающих излучений применено магнитное бездисперсионное устройство.

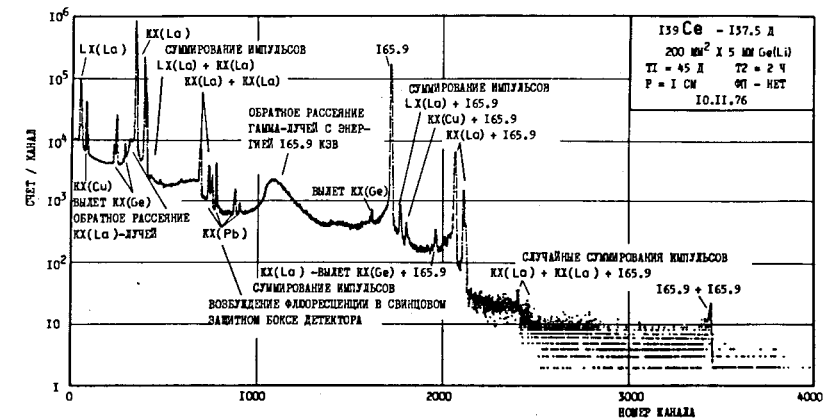


Рис. 9. Спектр гамма-лучей ^{139}Cs , измеренный с помощью 200 $\text{mm}^2 \times 5 \text{~мм}$ Ge(Li) -детектора.

ЭФФЕКТЫ СВЯЗАННЫЕ С РАДИОАКТИВНЫМ ИСТОЧНИКОМ	ЭФФЕКТЫ СВЯЗАННЫЕ С ХАРАКТЕРИСТИКАМИ ПД	ВНЕШНИЕ ЭФФЕКТЫ
1.1.Рассеяние от полония источника.	1.5.Зависимость сечений взаимодействия ^7Li от Z ПД излучения.	1.10.Рассеяние на ядрах оне спектрометра в опртумах ПД материалов и в сдвигах положения.
1.2.Сопротивление излучению.	1.6.Сигнальные пики, связанные с вылетом γ -лучей из ПД при образовании пар в опртумах ПД материалов.	1.11.Выделение характеристического излучения в опртумах ПД материалов.
1.3.Рассеяние в источнике. воздействие характеристи- ческого рентгеновского из- лучения в полонии и в св- ном источнике.	1.7.Сигнальные пики, связанные с вылетом характеристическо-го излучения из ПД.	1.12.Рассеяние в опртумах ПД излучения гомополями спектральной линии.
1.4.Воздействие характеристи- ческого рентгеновского из- лучения в полонии и в св- ном источнике.	1.8.Рассеяние на ядрах излучения.	1.13.Выделение гомополями излучения из ПД материалов.
L100A	1.9.Зависимость радиоактивного излучения от гомополями излучения.	1.14.Выделение гомополями излучения из ПД материалов.
	1.10.Боготливость сборания заряда в ПД.	1.15.Зависимость положения максимума спектральной линии от гомополями излучения.
	1.11.Искажение γ при исследовании цепочек альфа-активных импульсов.	1.16.Боготливый радиоактивный фон.
	1.17.Искажение γ .	1.17.Искажение γ при исследовании цепочек альфа-активных импульсов.
	1.18.Суммирование импульсов.	
2.1.Рассеяние от полонии источника.	2.5.Зависимость пробега от Z ма- териала ПД и энергии.	2.12.Рассеяние в материале ядерного ока застийной камеры.
2.2.Сопротивление излучению.	2.6.Рассеяние во ядронном окне ПД.	2.13.Выделение характеристического излучения в опртумах ПД и источник материала.
2.3.Рассеяние в источнике. воздействие характеристи- ческого рентгеновского из- лучения в полонии и в св- ном источнике.	2.7.Обратное рассеяние в ПД.	2.14.Маршрутчики Монтгоморионовых электронов.
2.4.Воздействие характеристи- ческого рентгеновского из- лучения в полонии и в св- ном источнике.	2.8.Горячее излучение в ПД.	2.15.Радиоволны.
E100A	2.9.Сигнальные пики, связанные с вылетом характеристическо-го излучения из ПД.	2.16.Суммирование импульсов.
	2.10.Боготливость сборания заряда в ПД.	
	2.11.Зависимость положения максимума спектральной линии от направления смещения.	
	3.1.Зависимость пробега от Z ма- териала ПД и энергии.	3.6.Разброс углов падения на поверхность ПД.
A100A	3.2.Рассеяние в веществе ис- точника.	3.7.Различие ядер с α -частиц с молекулами остаточного газа.
	3.3.Рассеяние от полония источника.	3.8.Суммирование импульсов.
	3.4.Рассеяние во ядронном окне ПД.	3.9.Радиоактивный фон.
	3.5.Боготливость сборания носите- ля заряда в ПД.	

Таблица 2. Эффекты, исказающие форму аппаратурного спектра от ПД.

шести нормалей по формуле:

$$E_i = B_1 + B_2 P'_i$$

Здесь P'_i – корректированные с учетом нелинейности спектрометра положения максимумов пиков; E_i – соответствующие энергии нормалей. В качестве весов используют величины $\{(\Delta E_i)^2 + (B_2 \cdot \Delta P'_i)^2\}^{-1}$, причем ΔE_i не включает систематической части погрешности энергии. Погрешность измерения рассчитывают по формуле:

$$\Delta E_i = \{(\Delta B_1)^2 + (\Delta B_2)^2 P_i^2 + rP_i + (B_2 \Delta P_i)^2\}^{1/2}$$

Здесь первые три члена определяют коридор ошибок градуировочной прямой; rP_i – корреляционный член; четвертый член учитывает погрешность определения положения максимума пика.

Выбор 6 нормалей (программа предусматривает от 2 до 6) связан с тем, что методика предполагает разбиение кривой нелинейности на участки и, таким образом, каждая область будет представлена по меньшей мере одной нормалью. Кроме того, в ряде случаев возможны искажения величин P_i за счет различных аппаратурных эффектов (неизвестные переходы, примеси, суммирование импульсов, вылет харacterистического излучения из ПД и т.д.). Выбранное число нормалей позволяет обнаружить вклад таких эффектов.

Относительные эффективности и их погрешности вычисляют по формулам:

$$I_i = \frac{S_i}{\varepsilon_i} \quad I_i = I_i \{(\Delta S_i/S_i)^2 + (\Delta \varepsilon_i/\varepsilon_i)^2\}^{1/2}$$

Здесь ε_i – эффективность спектрометра для частиц с энергией E_i ; I_i и S_i – интенсивность и площадь пика, выбранного в качестве нормированного; S_i – площадь калибруемого пика.

Результаты измерений на различных ПД, спектрометрических трактах и при различных коэффициентах усиления обрабатывают по следующим формулам:

$$E = \frac{\sum_{i=1}^n E_i (1/\Delta E_i)^2}{\sum_{i=1}^n (1/\Delta E_i)^2}$$

$$I = \frac{\sum_{i=1}^n I_i (1/\Delta I_i)^2}{\sum_{i=1}^n (1/\Delta I_i)^2}$$

$$\Delta E_1 = (\alpha_1^2 + \sum_{i=3}^n \alpha_i^2)^{1/2}$$

$$\Delta E_2 = (\alpha_2^2 + \sum_{i=3}^n \alpha_i^2)^{1/2}$$

$$\Delta I_1 = (\beta_1^2 + \sum_{i=3}^n \beta_i^2)^{1/2}$$

$$\Delta I_2 = (\beta_2^2 + \sum_{i=3}^n \beta_i^2)^{1/2}$$

$$\alpha_1^2 = \frac{1}{\sum_{i=1}^n (1/\Delta E_i)^2}$$

$$\alpha_2^2 = \frac{\sum_{i=1}^n (1/\Delta E_i)^2 (E - E_i)^2}{(n-1) \sum_{i=1}^n (1/\Delta E_i)^2}$$

$$\beta_1^2 = \frac{1}{\sum_{i=1}^n (1/\Delta I_i)^2}$$

$$\beta_2^2 = \frac{\sum_{i=1}^n (1/\Delta I_i)^2 (I - I_i)^2}{(n-1) \sum_{i=1}^n (1/\Delta I_i)^2}$$

Здесь n - число измерений; α_i (при $i \geq 3$) и β_i ($i \geq 3$) - возможные систематические компоненты погрешности. В качестве ΔE и ΔI выбирают погрешность, наибольшую из ΔE_1 , ΔE_2 и ΔI_1 , ΔI_2 , соответственно.

Далее рассматривается применение методики в альфа-, бета- и гамма-спектроскопии.

a) Гамма-спектроскопия

Здесь, прежде всего, рассмотрено состояние дел с нормалами энергий первого, второго и третьего порядка, полученными с помощью абсолютных методов измерений. Эти результаты являются исходными в дальнейшей процедуре.

В качестве нормалей третьего порядка до 612 кэВ использованы энергии гамма-лучей ^{182}Ta и $^{192}\text{Ir}^*$, измеренные с помощью кристалл-дифракционного спектрометра в предположении E ($411,8 - 198\text{Hg}$) = $411,794 \pm 0,007$ кэВ ** (нормаль второго порядка). Нормали энергий выше 600 кэВ создавались с использованием значений энергий переходов, полученных суммированием конкурирующих каскадных переходов для нуклидов с хорошо исследованными схемами распада: ^{95m}Tc , ^{134}Cs , ^{110m}Ag , ^{144}Ce и ^{56}Co . Поскольку число таких каскадов ограничено, процедура выполнена малыми шагами (~ 300 кэВ) и с использованием факта сохранения нелинейности спектрометра при изменении коэффициента усиления с помощью частотно-независимого аттенюатора.

Результаты более 800 серий измерений на различных детекто-

^{*} W. Beer, J. Kern. NIM, 117 (1974) 183.

^{**} G. Murray et al. Nucl. Phys., 63 (1965) 313.

НУКЛИД	Q	q	E	Φ1	Φ2	ΔE	НУКЛИД	Q	q	E	Φ1	Φ2	ΔE
^{182}Ta	3	-	31.7570	-	-	0.0007	^{110m}Ag	5	9	620.353	0.005	0.006	0.014
^{207}Bi	6	-	47.7143	-	-	0.0009	^{110m}Ag	4	8	657.744	0.002	0.002	0.013
^{169}Tb	-	6	53.5938	0.002	0.001	0.002	^{137}Ce	-	11	661.648	0.002	0.002	0.013
^{182}Ta	-	6	63.1932	-	-	0.0011	^{110m}Ag	-	9	677.611	0.002	0.002	0.014
^{182}Ta	-	6	65.7219	-	-	0.0013	^{110m}Ag	-	9	687.001	0.003	0.004	0.014
^{182}Ta	-	6	67.7496	-	-	0.0013	^{144}Ce	-	10	696.492	0.004	0.003	0.013
^{182}Ta	-	6	64.2517	-	-	0.0015	^{82}Br	-	10	698.361	0.004	0.003	0.013
^{182}Ta	-	6	64.6802	-	-	0.0016	^{110m}Ag	-	10	706.672	0.002	0.003	0.014
^{160}Tb	4	6	66.790	0.001	0.001	0.002	^{110m}Ag	-	9	744.271	0.003	0.004	0.015
^{109}Cd	4	14	68.032	0.001	0.001	0.002	^{110m}Ag	-	9	763.395	0.004	0.004	0.015
^{176}Lu	5	4	68.367	0.002	0.002	0.003	^{152}Eu	-	7	779.914	0.003	0.004	0.015
^{75}Se	4	6	96.734	0.002	0.002	0.003	^{95m}Br	4	8	795.188	0.005	0.005	0.015
^{123}Sb	3	12	100.442	-	-	0.0019	^{134}Ce	10	795.866	0.002	0.003	0.016	
^{153}Gd	4	12	103.181	0.001	0.001	0.002	^{134}Ce	11	801.957	0.003	0.004	0.016	
^{169}Yb	5	9	109.784	0.001	0.001	0.003	^{110m}Ag	5	9	818.028	0.004	0.007	0.015
^{182}Ta	3	-	113.6577	-	-	0.0022	^{95m}Tc	4	8	820.632	0.011	0.012	0.019
^{169}Yb	5	9	116.4172	-	-	0.0023	^{82}Br	5	5	827.828	0.005	0.007	0.016
^{75}Se	4	12	121.177	0.001	0.001	0.003	^{56}Co	14	834.858	0.002	0.002	0.015	
^{152}Eu	4	14	121.782	0.001	0.001	0.002	^{152}Eu	6	846.737	0.003	0.003	0.016	
^{75}Se	5	15	124.098	0.001	0.001	0.002	^{160}Tb	6	859.395	0.005	0.005	0.017	
^{169}Yb	5	9	125.925	0.001	0.001	0.002	^{110m}Ag	-	9	884.695	0.002	0.002	0.016
^{144}Ce	4	9	133.518	0.001	0.001	0.003	^{88}Y	11	898.048	0.004	0.005	0.019	
^{75}Se	4	12	136.000	0.001	0.001	0.003	^{110m}Ag	5	9	937.507	0.003	0.002	0.017
^{57}Co	4	6	136.475	0.001	0.002	0.005	^{160}Tb	6	962.347	0.007	0.003	0.018	
^{141}Ce	6	4	145.443	0.001	0.001	0.003	^{152}Eu	8	964.070	0.003	0.002	0.018	
^{182}Ta	3	-	152.4298	-	-	0.0029	^{160}Tb	6	966.163	0.005	0.002	0.019	
^{139}Ce	4	32	155.854	0.001	0.001	0.003	^{56}Co	6	1017.841	0.005	0.005	0.021	
^{173}Lu	10	5	171.442	0.001	0.001	0.004	^{123}Sb	6	1043.256	0.005	0.005	0.020	
^{173}Lu	9	9	177.203	0.001	0.001	0.004	^{207}Bi	6	1063.650	0.002	0.001	0.019	
^{173}Lu	9	9	179.363	0.001	0.001	0.004	^{152}Eu	8	1085.835	0.004	0.004	0.019	
^{182}Ta	-	5	179.3895	-	-	0.0034	^{152}Eu	8	1112.065	0.005	0.004	0.022	
^{160}Tb	5	4	197.026	0.003	0.002	0.004	^{65}Zn	12	1115.555	0.004	0.001	0.020	
^{169}Yb	5	9	197.948	0.001	0.001	0.004	^{182}Ta	8	1121.290	0.004	0.002	0.020	
^{182}Ta	-	5	198.3478	-	-	0.0038	^{60}Co	8	1173.236	0.005	0.004	0.021	
^{75}Se	5	6	198.603	0.002	0.002	0.005	^{56}Co	6	1175.095	0.006	0.005	0.023	
^{167}Ta	4	4	207.797	0.001	0.001	0.004	^{160}Tb	6	1177.970	0.005	0.004	0.022	
^{160}Tb	4	6	215.641	0.001	0.001	0.004	^{182}Ta	8	1189.934	0.008	0.006	0.023	
^{82}Br	5	5	221.455	0.002	0.001	0.004	^{152}Eu	8	1212.895	0.008	0.004	0.023	
^{182}Ta	3	-	222.1037	-	-	0.0042	^{182}Ta	8	1221.391	0.004	0.002	0.022	
^{182}Ta	-	5	229.3162	-	-	0.0052	^{182}Ta	8	1230.988	0.004	0.003	0.023	
^{173}Lu	5	9	233.603	0.002	0.001	0.005	^{56}Co	18	1238.271	0.003	0.002	0.022	
^{152}Eu	4	14	244.691	0.001	0.001	0.005	^{182}Ta	8	1257.416	0.007	0.006	0.023	
^{113}Sm	4	15	255.132	0.007	0.002	0.008	^{160}Tb	6	1271.896	0.007	0.003	0.024	
^{169}Yb	5	9	261.069	0.007	0.004	0.009	^{160}Tb	8	1273.711	0.010	0.005	0.024	
^{182}Ta	3	-	264.0711	-	-	0.0050	^{22}Na	8	1274.331	0.004	0.004	0.024	
^{75}Se	6	-	264.652	0.001	0.001	0.003	^{182}Ta	8	1284.174	0.007	0.007	0.024	
^{173}Lu	5	-	270.157	0.003	0.003	0.005	^{152}Eu	8	1299.108	0.009	0.007	0.024	
^{134}Ba	4	10	279.189	0.001	0.001	0.006	^{160}Tb	6	1312.174	0.007	0.001	0.026	
^{203}Hg	10	-	279.535	0.001	0.001	0.006	^{62}Br	5	1317.459	0.007	0.007	0.025	
^{75}Se	5	-	285.363	0.002	0.003	0.006	^{60}Co	6	1332.485	0.005	0.003	0.024	
^{192}Ir	5	-	295.9483	-	-	0.0052	^{56}Co	15	1360.209	0.005	0.005	0.024	
^{160}Tb	5	5	298.571	0.002	0.002	0.006	^{134}Ce	6	1365.177	0.002	0.002	0.024	
^{133}Ba	4	2	302.850	0.002	0.002	0.006	^{24}Na	8	1368.615	0.002	0.002	0.026	
^{75}Se	5	5	303.908	0.004	0.003	0.010	^{110m}Ag	8	1383.256	0.005	0.004	0.026	
^{169}Yb	5	5	304.726	0.002	0.003	0.005	^{182}Ta	8	1397.744	0.006	0.004	0.026	
^{132}Br	3	5	304.724	-	-	0.0054	^{144}Ce	10	1405.778	0.009	0.006	0.027	
^{152}Eu	4	11	316.497	-	-	0.0056	^{110m}Ag	5	1409.132	0.009	0.006	0.027	
^{133}Ba	4	7	344.257	0.001	0.001	0.007	^{110m}Ag	5	1505.036	0.005	0.006	0.028	
^{133}Ba	4	7	356.005	0.002	0.002	0.007	^{207}Bi	6	1562.303	0.004	0.006	0.029	
^{113}Sm	4	17	391.688	0.002	0.002	0.007	^{56}Co	7	1770.253	0.013	0.006	0.034	
^{75}Se	5	9	400.650	0.002	0.003	0.008	^{56}Co	7	1781.768	0.006	0.007	0.034	
^{152}Eu	5	5	411.084	0.006	0.007	0.010	^{88}Y	10	1805.074	0.003	0.003	0.034	
^{198}Hg	-	-	416.704	-	-	0.0079	^{56}Co	7	1826.160	0.019	0.017	0.036	
^{132}Br	5	5	443.940	0.005	0.003	0.009	^{56}Co	7	2015.198	0.018	0.008	0.040	
^{110m}Ag	5	-	448.802	0.004	0.004	0.011	^{56}Co	7	2034.772	0.007	0.006	0.037	
^{192}Ir	5	-	468.0546	-	-	0.0082	^{144}Ce	6	2185.607	0.007	0.004	0.041	
^{82}Br	5	5	554.330	0.004	0.005	0.011	^{56}Co	7	2212.859	0.036	0.038	0.055	
^{134}Ce	5	6	563.231	0.004	0.003	0.011	^{56}Co	7	2258.444	0.006	0.006	0.047	
^{134}Ce	5	6	569.322	0.003	0.002	0.012	^{24}Na	7	2273.295	0.022	0.012	0.051	
^{207}Bi	4	16	569.683	0.001	0.002	0.012	^{56}Co	7	2301.987	0.019	0.017	0.059	
192													

рах, спектрометрических трактах и при разных коэффициентах усиления приведены в табл.3. Следуя *, мы приводим порядки нормалей. Нормали каждого следующего порядка получены в непосредственном сравнении с нормалями предыдущих. Знак + указывает на то, что значение энергии получено путем суммирования энергий конкурирующих каскадных переходов.

Значительное внимание в диссертации уделено вопросу согласованности предлагаемого набора нормалей энергий.

Для исследования эффективности спектрометров использовались пять различных наборов образцовых спектрометрических гамма-источников (ОСГИ): один, изготовленный специально, имел препараты с активностью 10^6 расп./с; четыре, полученные из В/О "Изотоп", содержали препараты с активностью 10^5 расп./с. Три набора были аттестованы по активности с более высокой точностью во ВНИИМ им. Д.И.Менделеева. Измерения проводились на различных ПЦД при фиксированных значениях телесного угла и с учетом эффектов, искающих форму аппаратурного спектра. Далее, в этих условиях измерены относительные интенсивности γ -лучей радионуклидов, применяемых для калибровки спектрометров (табл.4).

В диссертации подробно рассмотрены вопросы согласования полученных нами данных с известными (и рекомендуемыми) результатами.

б) ЭВК-спектроскопия

Основная задача спектрометрии ЭВК сводится к определению мультипольностей переходов и, следовательно, возможных квантовых характеристик (I^π) возбужденных состояний. Исходя из этого, рассмотрены методы измерения КВК отдельных переходов и, далее, с помощью этих данных – методы измерения КВК группы переходов с последующим определением мультипольностей электромагнитных переходов.

Особое место в этом параграфе занимает вопрос построения набора нормалей КВК. При этом в качестве нормали первого порядка мы принимаем

$$\alpha_K(661,65 \text{ кэВ} - I^{37}\text{Cs}) = 0,0905 \pm 0,0010.$$

В этом предположении измерены КВК 33 наиболее интенсивных пере-

* Б.С.Джелепов. Методы разработки сложных схем распада. Л., "Наука", 1974.

дов для 15 нуклидов, которые мы считаем нормалями КВК второго порядка (табл.5). Измерены также относительные интенсивности ЭВК набора радионуклидов, применяемых для калибровки спектрометров (табл.6).

В заключение проведен анализ полученных данных.

в) Альфа-спектроскопия

В отличие от гамма- и ЭВК-спектроскопии, в альфа-спектроскопии уже предложен последовательный набор нормалей альфа-частиц *. Поэтому главное внимание здесь уделено применению методики прецизионной спектрометрии дискретных излучений для случая альфа-частиц. При этом рассмотрены конкретные примеры применения методики "внешней" и "внутренней" калибровки для распада ^{238}Ru и ^{226}Ra .

В третьей главе изложены принципы организации атласа (500) аппаратурных спектров альфа-, бета-, гамма- и X-излучений, измеренных с помощью ПЦД, а также проведен анализ полученных результатов /18/.

Идея создания атласа аппаратурных спектров возникла в связи с тем, что к середине 70-х гг. появилось стремление к стандартизации геометрических размеров кристалла, связанное с некоторым насыщением в технологии изготовления ПЦД, что, со своей стороны, создает условия для стандартизации измерений. В таких условиях роль атласа при планировании и проведении новых экспериментов, а также при анализе данных трудно переоценить.

Атлас аппаратурных спектров опубликован в работе /18/, в диссертации же рассмотрены лишь принципы его организации. Объектом наших экспериментов являлись радионуклиды:

- а) применяемые для калибровки α -, β - и γ -спектрометров;
- б) получаемые в реакциях глубокого расщепления X (р, хр, уп) Y с помощью быстрых протонов ($E_p = 660 \text{ МэВ}$) и представляющие интерес с точки зрения исследования структуры атомных ядер;
- в) получаемые в реакции ($n\gamma$) и представляющие интерес с точки зрения нейтронно-активационного анализа;
- г) получаемые в реакциях (Yp) и (Yn) с помощью тормозного излучения микротронов и представляющие интерес с точки зрения активационного анализа;
- д) поставляемые В/О "Изотоп";

* A.Rytz. Atomic Data and Nucl. Data Sheets. 12 (1973) 479.

Таблица 4а. Энергий и относительные интенсивности гамма-лучей радионуклидов, применяемых для градуировки спектрометров с ПШ.

Таблица 46. Энергии и относительные интенсивности гамма-лучей радионуклидов, применяемых в терапии

Элемент	ΔE	I (ΔI)	РЕЗУЛЬТАТЫ РАЗНЫХ МЕТОДОВ								
			a_k	ϑ_1	ζ	$\Delta a_k'$	q метод	a_k	ϑ_1	ϑ_2	
176Lu	89.367(3)	100,000(1830)	1.161	0.004	0.018	0.019	5 XPG	1.161	0.004	0.004	0.018 0.019
152Eu	23.782(3)	-	0.636	0.007	0.023	0.016	7 AEG	0.638	0.009	0.003	0.023 0.017
152Eu	74.547(3)	100,000(2146)	0.636	0.002	-	-	5 NPG	0.635	0.010	0.003	0.023 0.018
169Yb	130.525(3)	100,000(1827)	0.499	0.012	0.023	0.017	2 AEG	0.506	0.014	0.006	0.023 0.018
30.6 Lu	71.155(3)	30.916(733)	0.010	-	-	-	1 NPG	0.483	0.022	-	0.023 0.025
141Ce	145.443(3)	100,000(1827)	0.365	0.004	0.023	0.011	5 AEG	0.366	0.007	0.004	0.023 0.011
32.51 Lu	105.452(3)	100,000(1797)	0.365	0.004	0.023	0.011	5 NPG	0.350	0.008	0.008	0.023 0.011
149Gd	149.733(6)	100,000(1827)	0.459	0.010	0.023	0.015	5 XPG	0.374	0.007	0.007	0.032 0.012
9.5 A	101.214(3)	100,000(3393)	0.459	0.001	-	-	2 AEG	0.458	0.014	0.006	0.023 0.018
151Gd	153.605(4)	100,000(1829)	0.426	0.008	0.023	0.013	2 AEG	0.428	0.010	0.003	0.023 0.014
120 A	105.086	51.307(686)	0.003	-	-	-	1 NPG	0.422	0.013	-	0.023 0.016
139Ce	165.854(3)	100,000(1827)	0.226	0.004	0.023	0.007	4 AEG	0.228	0.005	0.004	0.023 0.007
137.5 Lu	126.929(3)	100,000(1797)	0.226	0.003	-	-	4 NPG	0.222	0.007	0.005	0.023 0.009
171Lu	171.402(4)	13.854(379)	0.0657	0.003	0.023	0.020	2 AEG	0.066	0.016	0.002	0.023 0.022
13.7 T	110.070	39.488(1008)	0.0657	0.003	-	-	1 IEC	0.0703	0.004	-	0.032 0.008
151Gd	178.697(4)	47.342(970)	1.731	0.014	0.023	0.043	2 AEG	1.722	0.016	0.010	0.023 0.048
120 A	126.178	100,000(1348)	1.731	0.015	-	-	1 AEG	1.724	0.025	-	0.023 0.048
173Lu	179.363(4)	6.362(177)	0.214	0.004	0.023	0.006	2 AEG	0.214	0.003	0.003	0.023 0.007
13.7 T	118.031	62.952(1551)	0.004	-	-	-	1 IEC	0.229	0.013	-	0.032 0.015
172Lu	181.510(4)	32.801(1182)	0.210	0.006	0.023	0.008	2 AEG	0.211	0.006	0.001	0.023 0.008
6.7 A	120.198	100,000(2698)	0.210	0.002	-	-	1 NPG	0.206	0.013	-	0.023 0.014
169Tb	157.298(4)	100,000(1834)	0.355	0.007	0.023	0.011	2 AEG	0.352	0.008	0.001	0.023 0.011
158.558	158.558	100,000(1631)	0.355	0.007	-	-	1 NPG	0.349	0.016	-	0.023 0.018
158.71	129.216(5)	61.229(1126)	0.155	0.006	0.023	0.008	2 AEG	0.154	0.007	0.006	0.023 0.008
158.558	148.577	100,000(2506)	0.155	0.002	-	-	1 NPG	0.157	0.013	-	0.023 0.014
172Lu	182.436(4)	7.626(378)	0.150	0.004	0.023	0.005	2 AEG	0.149	0.004	0.000	0.023 0.005
6.7 A	142.104	17.049(511)	0.150	0.004	-	-	1 NPG	0.154	0.010	-	0.023 0.011
167Tm	207.797(3)	100,000(1826)	0.479	0.010	0.023	0.015	2 AEG	0.481	0.016	0.003	0.023 0.019
9.25 A	150.311	100,000(2583)	0.479	0.002	-	-	1 NPG	0.478	0.013	0.007	0.023 0.017
151Gd	212.293(4)	89.866(1836)	0.0202	0.004	0.023	0.006	2 AEG	0.0204	0.0005	0.0007	0.023 0.008
120 A	214.774	2.196(28)	0.0202	0.003	-	-	1 NPG	0.0197	0.0009	-	0.023 0.010
152Eu	244.691(5)	25.659(2522)	0.0846	0.004	0.023	0.029	3 AEG	0.0869	0.0022	0.0006	0.023 0.028
13.7 T	197.056	3.424(42)	0.0023	-	-	-	1 NPG	0.0827	0.0020	0.0008	0.023 0.027
156Tb	262.587(13)	9.105(171)	0.0769	0.0024	0.023	0.0030	2 AEG	0.0771	0.0025	0.0023	0.023 0.031
5.35 A	221.348	7.010(130)	0.0006	-	-	-	1 NPG	0.0754	0.005	-	0.023 0.059
152Tb	271.085(4)	14.776(279)	0.0620	0.008	0.023	0.0030	2 AEG	0.0614	0.022	0.0016	0.023 0.026
152.74	220.774	89.966(350)	0.0011	-	-	-	1 NPG	0.0636	0.0034	-	0.023 0.037
173Lu	272.111(5)	100,000(1886)	0.0210	0.004	0.025	0.007	2 AEG	0.0209	0.0005	0.0001	0.023 0.008
13.7 T	210.779	100,000(1286)	0.0001	-	-	-	1 IEC	0.0210	0.0015	-	0.032 0.016
149Eu	277.081(5)	93.514(1975)	0.0808	0.004	0.023	0.0023	2 AEG	0.0809	0.0021	0.0021	0.023 0.027
95.1 A	250.246	100,000(2697)	0.0008	-	-	-	1 NPG	0.0803	0.0026	0.0011	0.023 0.027
203Pb	279.189(6)	100,000(1893)	0.166	0.003	0.023	0.006	2 AEG	0.163	0.006	0.003	0.023 0.007
52.1 A	193.658	100,000(2795)	0.002	-	-	-	1 NPG	0.159	0.007	0.002	0.023 0.011
149Gd	298.617(9)	59.080(1176)	0.0723	0.0011	0.023	0.0020	2 AEG	0.0722	0.0016	0.0009	0.023 0.022
50.098	9.217(7)	100,000(1830)	0.0723	0.007	-	-	1 NPG	0.0712	0.0016	0.0001	0.023 0.022
169Yb	307.226(6)	29.270(654)	0.044	0.004	0.023	0.017	2 AEG	0.0459	0.0015	0.0012	0.023 0.019
50.7 A	246.331	7.279(72)	0.0006	-	-	-	1 NPG	0.0437	0.0024	0.0002	0.023 0.026
151Gd	307.500(9)	17.417(344)	0.0605	0.005	0.023	0.0020	2 AEG	0.0592	0.0020	0.0003	0.023 0.025
120 A	266.981	1.341(35)	0.0004	-	-	-	1 NPG	0.0515	0.0021	-	0.023 0.026
149Eu	327.527(6)	100,000(1982)	0.0514	0.0029	0.023	0.0015	2 AEG	0.0504	0.0015	0.0005	0.023 0.017
95.1 A	280.692	70.768(1784)	0.0008	-	-	-	1 NPG	0.0504	0.0015	0.0005	0.023 0.019
149.72	324.267(7)	96.528(1784)	0.0313	0.0005	0.023	0.0009	3 AEG	0.0317	0.0027	0.0004	0.023 0.010
13.7 T	244.268	4.729(39)	0.0313	0.002	-	-	1 NPG	0.0310	0.0007	0.0002	0.023 0.010
152Tb	344.267(7)	100,000(1921)	0.0308	0.002	0.023	0.0011	4 AEG	0.0308	0.0008	0.0002	0.023 0.011
13.7 T	304.028	100,000(1921)	0.0308	0.002	-	-	1 NPG	0.0306	0.0017	-	0.023 0.018
151Gd	346.660	49.781	0.009	-	-	-	2 AEG	0.188	0.006	0.003	0.023 0.007
152.74	296.617	0.009	-	-	-	-	1 NPG	0.187	0.005	0.003	0.023 0.007
151Gd	346.660	49.781	0.009	-	-	-	2 AEG	0.0279	0.0011	0.0011	0.023 0.013
152Tb	346.660	49.781	0.009	-	-	-	1 NPG	0.0275	0.0017	-	0.023 0.008
152.74	346.660	49.781	0.009	-	-	-	2 AEG	0.0315	0.0002	0.0002	0.023 0.003
152Tb	346.660	49.781	0.009	-	-	-	1 NPG	0.0315	0.0002	0.0002	0.023 0.003
152Tb	346.660	49.781	0.009	-	-	-	2 AEG	0.0158	0.0003	0.0003	0.023 0.005
152Tb	346.660	49.781	0.009	-	-	-	1 NPG	0.0162	0.0003	0.0003	0.023 0.005
152Tb	346.660	49.781	0.009	-	-	-	2 AEG	0.0175	0.0003	0.0003	0.023 0.005
152Tb	346.660	49.781	0.009	-	-	-	1 NPG	0.0175	0.0003	0.0003	0.023 0.005
152Tb	346.660	49.781	0.009	-	-	-	2 AEG	0.0175	0.0003	0.0003	0.023 0.005
152Tb	346.660	49.781	0.009	-	-	-	1 NPG	0.0175	0.0003	0.0003	0.023 0.005
152Tb	346.660	49.781	0.009	-	-	-	2 AEG	0.0175	0.0003	0.0003	0.023 0.005
152Tb	346.660	49.781	0.009	-	-	-	1 NPG	0.0175	0.0003	0.0003	0.023 0.005
152Tb	346.660	49.781	0.009	-	-	-	2 AEG	0.0175	0.0003	0.0003	0.023 0.005
152Tb	346.660	49.781	0.009	-	-	-	1 NPG	0.0175	0.0003	0.0003	0.023 0.005
152Tb	346.660	49.781	0.009	-	-	-	2 AEG	0.0175	0.0003	0.0003	0.023 0.005
152Tb	346.660	49.781	0.009	-	-	-	1 NPG	0.0175	0.0003	0.0003	0.023 0.005
152Tb	346.660	49.781	0.009	-	-	-	2 AEG	0.0175	0.0003	0.0003	0.023 0.005
152Tb	346.660	49.781	0.009	-	-	-	1 NPG	0.0175	0.0003	0.0003	0.023 0.005
152Tb	346.660	49.781	0.009	-	-	-	2 AEG	0.0175	0.0003	0.0003	0.023 0.005
152Tb	346.660	49.781	0.009	-	-	-	1 NPG	0.0175	0.0003	0.0003	0.023 0.005
152Tb	346.660	49.781	0.009	-	-	-	2 AEG	0.0175	0.0003	0.0003	0.023 0.005
152Tb	346.660	49.781	0.009	-	-	-	1 NPG	0.0175	0.0003	0.0003	0.023 0.005
152Tb	346.660	49.781	0.009	-	-	-	2 AEG	0.0175	0.0003	0.0003	0.023 0.005
152Tb	346.660	49.781	0.009	-	-	-	1 NPG	0.0175	0.0003	0.0003	0.023 0.005
152Tb	346.660	49.781	0.009	-	-	-	2 AEG	0.0175	0.0003	0.0003	0.023 0.005
152Tb	346.660	49.781	0.009	-	-	-	1 NPG	0.0175	0.0003	0.0003	0.023 0.005
152Tb	346.660	49.781	0.009	-	-	-	2 AEG	0.0175	0.0003	0.0003	0.023 0.005
152Tb	346.660	49.781	0.009	-	-	-	1 NPG	0.0175	0.0003	0.0003	0.023 0.005
152Tb	346.660	49.781									

е) прочие источники, представляющие интерес при исследовании особенностей радиоактивного распада.

В атласе изложены методы получения исследуемых радионуклидов, способы изготовления источников, систематизированная таблица аппаратурных спектров с цитированием оригинальных публикаций с нашими экспериментальными данными. Все аппаратурные спектры приведены в порядке возрастания А, в каждой серии изобар – в порядке возрастания Z. Спектры каждого нуклида разделены по типу излучения, причем принят следующие индексы: 1 – альфа-спектры; 2 – бета-спектры; 3 – X- и γ -спектры. В тех случаях, когда регистрировалось несколько излучений одновременно, индекс показывает, для исследования какого излучения планировался эксперимент. И, наконец, для каждого излучения приводится порядковый номер спектра. Следует заметить, что в ряде случаев мы проводили иллюстративные измерения в условиях, когда исажающие аппаратурный спектр эффекты играют существенную роль. Это позволяет учесть целый ряд факторов при планировании и проведении новых экспериментов.

На каждом рисунке аппаратурного спектра указаны условия измерения (см., например, рис.4, 6, 9):

T1 – время, прошедшее с момента изготовления источника;

T2 – время измерения;

R – расстояние источник – ППД;

ФП – фильтр поглощения между источником и ППД;

B – индукция однородного магнитного поля спектрометра с Si (Li)-детектором.

Указаны также параметры ППД и дата измерения.

В заключение проведен анализ наиболее характерных аппаратурных спектров альфа-, бета-, гамма- и X-излучений.

В четвертой главе изложена организация экспериментов по измерению спектров дискретных излучений радионуклидов с применением созданного нами набора нормалей энергий и интенсивностей γ -лучей и ЭВК (гл. II).

Организацию поточных измерений энергий и интенсивностей дискретных излучений удобно рассмотреть на примере гамма-спектроскопии (рис.10) – как наиболее сложного способа исследований, включающего в себя особенности альфа- и бета-спектроскопии. Главными элементами методики являются:

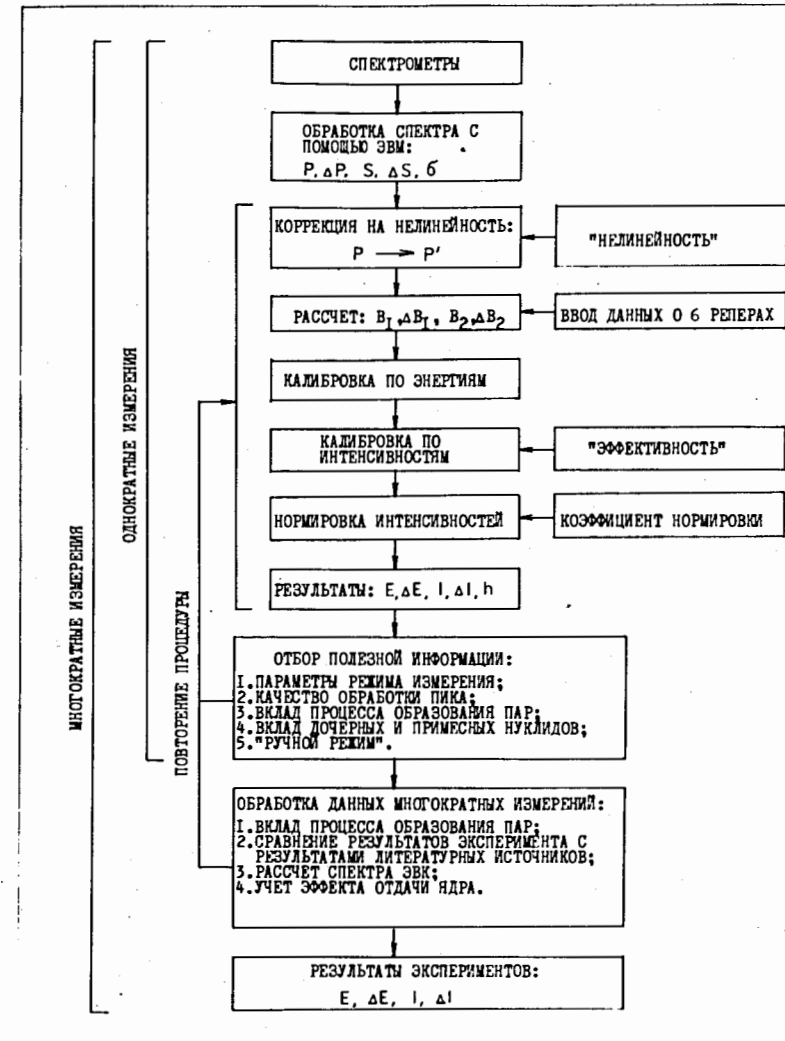


Рис. 10. Структурная схема эксперимента по измерению энергий и интенсивностей гамма-лучей радионуклидов с помощью полупроводниковых детекторов.

а) логика выбора спектрометра и оптимальных условий измерения (тип и параметры ПД, энергетический диапазон, время измерений, поглощающие фильтры);

б) предварительное исследование нелинейности и эффективности спектрометров;

в) отбор полезной информации в однократных и многократных измерениях и повторение, в случае необходимости, полной процедуры однократного измерения.

В диссертации рассмотрены конкретные примеры: γ -лучи ^{82}Br , ЭВК ^{131}Ba и α -частицы ^{242m}Am .

С помощью разработанной методики исследован распад 180 радионуклидов. Систематизированные результаты приведены в работе /19/. В соответствии с методами получения выделены следующие группы экспериментальных данных:

а) данные об основных характеристиках радионуклида: $T_{1/2}$ (с), энергия α -, β^- -, β^+ -, ϵ -распада или изомерного состояния и соответствующие доли (в %) распада;

б) данные об электромагнитных переходах: E_γ , I_γ , I_κ ;

в) данные об интенсивностях ЭВК на различных подоболочках;

г) данные об энергиях и интенсивностях α -частиц.

Последовательность представления табличного материала точно такая же, как и в атласе аппаратурных спектров. Если возможно, приводится также множитель q , переводящий относительные интенсивности в % на распад. При нормировке I_γ и I_α за 100 единиц принят наиболее интенсивный переход, а в случае ЭВК это условие соблюдено лишь для $E_e > 100$ кэВ. Последнее замечание связано с погрешностью измерения относительных интенсивностей ЭВК.

Отметим наиболее важные выводы из работы /18/.

1. Анализ данных гамма-спектроскопии показывает, что точность измерений E_γ по сравнению с уровнем 1970–1974 гг. улучшена более чем на порядок, а точность измерения I_γ – в 244 раза. Тенденция, по-видимому, сохранится и в ближайшее время, поскольку идут интенсивные работы по созданию новых нормалей энергий и интенсивностей гамма-лучей.

2. Благодаря высокой надежности созданных спектрометров получены данные об интенсивностях ЭВК для 95 радионуклидов. Отметим, что в ряде случаев эти результаты уникальны и получить их другими методами на сегодняшний день практически невозможно.

3. Сравнительно мало экспериментальных данных о спектрах альфа-частиц. Однако, по мере продвижения в сторону исследования короткоживущих нуклидов, роль ПД будет возрастать.

4. Если измерения некоторых констант не проводились, результаты заимствованы, как правило, из компилятивных работ или более поздних оригинальных работ. В таблицах эти данные набраны другим шрифтом.

5. В результате анализа всей совокупности экспериментальных данных с различной степенью полноты построены схемы распада более чем для 100 радионуклидов.

6. Важным условием, которому удовлетворяют приведенные данные, является возможность их пересчета в случае введения новых нормалей энергий и интенсивностей дискретных излучений.

Проведенный анализ сделан с целью создания иерархической системы сбора, обработки и анализа спектрометрической информации. Как уже отмечалось, реализация такой системы в нашей Лаборатории начата (логика организации в диссертации коротко рассмотрена), однако, детальное ее описание выходит за рамки настоящей диссертации.

В пятой главе приведены результаты исследования возбужденных состояний нечетных ядер самария (^{145}Sm , ^{147}Sm , ^{149}Sm) и европия (^{147}Eu , ^{149}Eu , ^{151}Eu). Характерной особенностью данного цикла исследований является применение на высоком экспериментальном уровне практически всех методов классической спектроскопии (табл. 7), что, кроме полноты анализа, позволяет прогнозировать перспективы подобных исследований в более широкой области ядер и необходимость разработки новых экспериментальных методов и установок.

Результаты исследований можно систематизировать следующим образом:

1. При анализе спектров γ -лучей и ЭВК при распаде ^{145}Eu /20/ наблюдены 94 перехода, из них 35 гамма-переходов впервые. Впервые для 12 переходов установлены мультипольности. По результатам $\gamma\gamma$ -совпадений подтверждено существование 13 уровней. Впервые введены уровни с характеристиками 1962,35 кэВ ($1/2^+$, $3/2^+$) и 2385,35 кэВ ($3/2^+$ + $7/2^+$). Из анализа экспериментов $\gamma\gamma(\theta)$ установлены спины следующих уровней: 1436,30 ($1/2$), 1627,55 ($1/2$, $3/2$) и 1658,50 кэВ ($3/2$). Установлены квантовые характеристики

НУКЛІД	$T_{1/2}$	Q /кэВ/	κ_K	λ	α_K	β^+	$e\gamma$	$\gamma\gamma$	$\lambda\lambda(\theta)$	$t_{1/2}$
$^{145}\text{Gd}82 \rightarrow 63\text{Sm}83$	5,94(3) д	2717(11)	+	+	-	-	-	-	-	?
$^{147}\text{Eu}84 \rightarrow 62\text{Sm}85$	24,1(6) д	1767(10)	+	+	+	+	+	+	+	?
$^{149}\text{Eu}86 \rightarrow 63\text{Sm}87$	93,1(4) д	760	+	+	?	-	-	-	-	?
$^{147}\text{Gd}83 \rightarrow 63\text{Sm}84$	37,8(4) ч	2185(5)	+	+	-	+	-	-	-	?
$^{149}\text{Gd}85 \rightarrow 63\text{Sm}86$	9,4(3) д	1290	+	+	+	?	+	+	+	+
$^{151}\text{Gd}87 \rightarrow 63\text{Eu}88$	120(20) д	482(7)	+	+	+	?	+	+	-	-

Табл. 7. Радионуклиды, основные характеристики и примененные экспериментальные методы при исследовании радиоактивного распада (+ — метод применен; — — метод не применен; ? — метод нельзя применить). Обозначения:

- κ_K — измерение спектра характеристического рентгеновского излучения;
- λ — измерение спектра дискретного гамма-излучения;
- α_K — измерение КБК;
- β^+ — измерение спектра позитронов;
- $e\gamma$ — измерение спектров электрон-гамма совпадений;
- $\gamma\gamma$ — измерение угловых гамма-гамма угловых корреляций;
- $t_{1/2}$ — измерение времен жизни возбужденных состояний;
- $\lambda\lambda(\theta)$ — измерение спектра альфа-частиц.

уровней: I843,38 ($1/2^-$, $3/2^-$), I972,73 ($3/2^-$), I292,96 ($5/2^- + 9/2^-$), 2276,60 ($5/2^- + 9/2^-$), 2293,03 ($5/2^-$, $7/2^-$), 2340,60 ($5/2^- + 9/2^-$), 2481,98 ($3/2^+ + 7/2^+$), 2508,22 ($3/2^+ + 7/2^+$), 2513,33 ($5/2^-$, $7/2^-$) и 2558,89 кэВ ($3/2^+ + 7/2^+$). На основании баланса энергий переходов доказано существование уровней: I843,38; I950,76; 2340,60 и 2558,89 кэВ.

2. В спектрах γ -лучей и ЭВК при распаде $^{147}\text{Eu} \xrightarrow{1/2}$ наблюдены 68 переходов, из них 25 — впервые. Впервые установлены мультипольности II переходов, что позволило установить квантовые характеристики следующих уровней: I006,67 ($5/2^-$), I043,50 ($3/2^-$), I054,24 ($3/2^+$), I077,04 ($5/2^-$), I303,73 ($3/2^+$, $5/2^+$), I449,II ($3/2 + 7/2$), I453,2I ($3/2^+$, $5/2^+$) и I548,53 кэВ ($3/2^-$, $5/2^-$). На основании результатов $e\gamma$ -совпадений и баланса энергий введены новые уровни: 872,97; I228,08; I317,66 ($3/2^-$); I317,82 ($3/2 + 7/2$) $^+$; I318,06 ($3/2^-$, $5/2^-$); I471,44 ($3/2^-$, $5/2^-$); I471,90 ($3/2^-$, $5/2^-$) и I629,98 кэВ, а также подтверждено существование состояний: I21,22; I97,28; 798,72; I006,67; I043,50; I054,24; I077,04; I180,23; I449,II; I453,2I и I548,53 кэВ. Для I5 каскадов измерены $\gamma\gamma$ -угловые корреляции, для 8 из них впервые. Измерены времена жизни возбужденных состояний в ^{147}Sm : I21,2 кэВ ($T_{1/2} = 0,83(3)$ нс) и I97,3 кэВ ($T_{1/2} = 1,30(5)$ нс).

3. Все наблюдаемые переходы в спектрах γ -лучей и ЭВК при распаде $^{149}\text{Eu} \xrightarrow{1/2}$ размещены в схеме распада. Впервые с высокой точностью измерены значения КБК для переходов: α_K (277,1 кэВ) = 0,0808(23) и α_K (327,5 кэВ) = 0,0514(15). Измерено время жизни уровня в ^{149}Sm 22,5 кэВ: $T_{1/2} = 7,31(5)$ нс.

4. В спектрах γ -лучей и ЭВК при распаде $^{147}\text{Gd} \xrightarrow{1/2}$ наблюдены I42 гамма-перехода. Впервые определены интенсивности 8 конверсионных К-линий. В спектре позитронов обнаружено два компонента с граничными энергиями $E_{\beta_1^+}$ (1160 \pm 13) кэВ и $E_{\beta_2^+}$ (933 \pm 5) кэВ. Получены значения $I_{\beta_1^+}/I_{K229} = (4,36 \pm 0,44) \cdot 10^{-3}$ и $I_{\beta_2^+}/I_{K229} = (2,19 \pm 0,15) \cdot 10^{-2}$. Определена разность масс $^{147}\text{Gd} \rightarrow 147\text{Eu}$: $Q_{\beta^+} = (2185 \pm 5)$ кэВ. Из анализа спектров $e\gamma$ -совпадений и энергетического баланса введены новые состояния: I007,40 ($3/2^+ + 7/2^+$); I337,70 ($5/2^+ + 9/2^+$); I771,93 ($5/2^- + 9/2^-$); I816,06 ($5/2^+$, $7/2^+$); I838,82; I874,69 ($5/2^+$, $7/2^+$) и I905,64 кэВ ($7/2^+$). Впервые определены характеристики уровня I474,57 кэВ ($5/2^-$, $7/2^-$).

5. При анализе спектров γ -лучей и ЭВК при распаде ^{149}Gd /24/ обнаружено 94 гамма-перехода, из них 53 - впервые. Для большинства переходов установлены мультипольности. Впервые измерены значения КВК для переходов: $\alpha_K(149,7 \text{ кэВ}) = 0,459(15)$, $\alpha_K(298,6 \text{ кэВ}) = 0,0723(20)$ и $\alpha_K(346,7 \text{ кэВ}) = 0,187(6)$. Из анализа спектров $e\gamma$ - и $\gamma\gamma$ -совпадений, а также на основе баланса энергий и интенсивностей электромагнитных переходов введены два новых уровня (869,01 и 1050,86 кэВ), а также подтверждено существование следующих состояний: 534,30; 666,29; 748,61; 794,98; 875,91; 933,13; 938,61; 1012,67 и 1097,59 кэВ. Измерено время жизни уровня 149,7 кэВ в $^{149}\text{Eu} - T_{1/2} = 0,31(2) \text{ нс}$. Определена доля альфа-распада - $I_\alpha(3018 \text{ кэВ} - ^{149}\text{Gd}) = (6,3 \pm 1,2) \cdot 10^{-4}\%$.

6. В спектрах γ -лучей и ЭВК при распаде ^{151}Gd /25/ обнаружено три новых перехода. С высокой точностью ($\sim 2\%$) измерена интенсивность К_x-лучей. Впервые измерены с высокой точностью КВК следующих переходов: $\alpha_K(153,6 \text{ кэВ}) = 0,426(13)$, $\alpha_K(174,7 \text{ кэВ}) = 1,731(43)$, $\alpha_K(243,3 \text{ кэВ}) = 0,0202(6)$ и $\alpha_K(307,5 \text{ кэВ}) = 0,0605(20)$. Из анализа спектров $e\gamma$ -совпадений введен новый уровень - 216,18 кэВ, а также подтверждено существование состояний 260,46; 307,52; 349,89 и 353,64 кэВ.

7. Проведена систематика нечетно-нейтронных ядер самария ($A = 145, 147, 149$) и нечетно-протонных ядер европия ($A = 147, 149, 151$). В ядрах самария наблюдаются уровни с одинаковыми характеристиками $I^\pi = 7/2^-, 3/2^-, 5/2^-$. В ядрах европия можно проследить поведение аналогичных уровней с $I^\pi = 5/2^+, 7/2^+, 11/2^-, 7/2^+$ и $7/2^-$ в зависимости от увеличения числа нейтронов. На основании совокупности экспериментальных данных показано, что в рассматриваемых ядрах существуют состояния многообразной природы:

- a) сферические состояния (нижние в ^{145}Sm);
- б) состояния, обусловленные связью коллективных движений четно-четного остова с одночастичными и квазичастичными движениями нечетной частицы ($121,23 \text{ кэВ} (3/2^-)$ и $197,28 \text{ кэВ} (5/2^-)$ в ^{147}Sm);
- в) состояния с многочастичной конфигурацией ($995,12 \text{ кэВ} (9/2^-)$ и $1554,17 \text{ кэВ} (9/2^-)$ в ^{147}Eu);
- г) деформированные состояния (в ^{151}Eu).

В шестой главе приведен результат нового измерения энергий связи дейтрана.

Энергия связи дейтрана (E_D) является одной из фундаментальных констант, связывающей массы нейтрона, протона и дейтрана и, таким образом, непосредственно влияющей на шкалу атомных масс. Однако проведенный анализ экспериментов по измерению E_D показал, что, по-видимому, могла быть допущена систематическая погрешность, связанная с применением пика двойного вылета аннигиляционных квантов из ШШ. Этот факт стимулировал постановку нового эксперимента по измерению E_D с помощью разработанного набора нормалей энергий γ -лучей.

Геометрия экспериментов изображена на рис. II. Род-Ве источник ($9,1 \cdot 10^6$ нейтронов/с) помещался в парафиновый параллелепипед размерами $34 \times 34 \times 40 \text{ см}^3$, который одновременно выполнял функции замедлителя нейтронов и водородной мишени. Типичный аппаратурный спектр с применением различных калибровочных источников показан на рис. I2. Результаты обработки 10 серий измерений с помощью $38 \text{ см}^3 \text{ Ge(Li)}$ -детектора и с использованием различных усилителей и аналого-цифровых преобразователей приведены в табл. 8. Как видно, использование энергии пиков вылета аннигиляционных квантов может приводить к систематическим ошибкам при определении E_D . Таким образом, энергия связи дейтрана равна:

$$E_D = E_D + E_{\text{яд}} = 2224,572 \pm 0,040 \text{ кэВ}.$$

Отметим, что основная погрешность связана с погрешностью нормали $\lambda_{4II},8$ (см. табл. 8). С помощью этой величины и разности масс спектроскопического дублета ($H_2 - {}^2D$) = $1442,232(4) \text{ кэВ}$ ^{*} можно получить:

$$n - {}^1H = D - (H_2 - {}^2D) = 782,340 \pm 0,040 \text{ кэВ}.$$

Учитывая энергию связи К-электрона в водороде ($0,014 \text{ кэВ}$) и массу покоя электрона ($511,0034(14) \text{ кэВ}$ ^{**}), получаем:

$$n - p = 1293,329 \pm 0,040 \text{ кэВ}.$$

Согласно ^{***},

$$n - p = 1293,43 \pm 0,04 \text{ кэВ}.$$

^{*} L.C.Smitt and A.H.Wapstra. Phys.Rev. C., 11 (1975) 1892.

^{**} Фундаментальные физические константы. ГСССДЛ-76. Изд. стандартов, М., 1976.

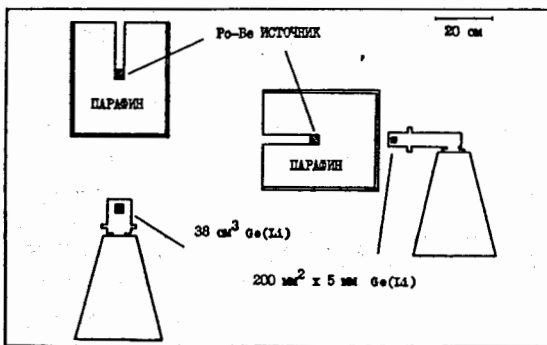


Рис. II. Геометрия экспериментов по измерению энергии связи deutрона из реакции $^1\text{H}(\text{n},\gamma)^2\text{D}$.

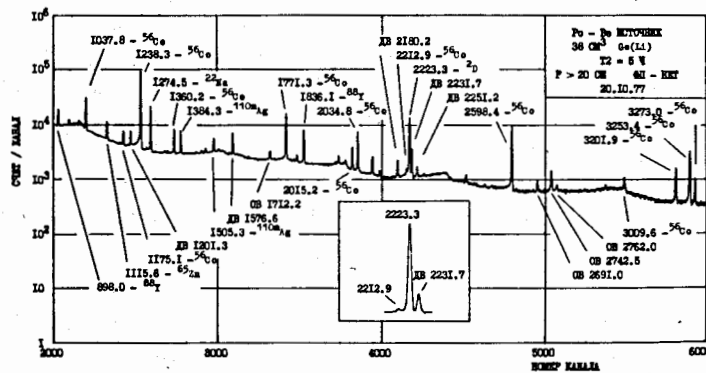


Рис. 12. Пример эксперимента по измерению энергии связи дейтрона.

ШИ	ШИК	E	ΔE	$\Delta E'$	a_1	a_2	a_3	a_4
38cm ³ Ge(Li)	ДВ	2223.371	0.025	0.014	0.009	0.013	0.006	0.020
	ОВ	2223.188	0.038	0.025	0.019	0.023	0.009	0.029
	ФИ	2223.255	0.040	0.014	0.008	0.005	0.011	0.038
200mm ² x 5mm Ge(Li)	ДВ	2223.235	0.028	0.022	0.008	0.019	0.006	0.020

Таблица 8. Результаты экспериментов по измерению энергии χ -лучей в реакции $^1\text{H}(\text{n}, \chi) ^2\text{D}$ с помощью Ge(Li) -детекторов. ФП, ОВ и ДВ - пики полного поглощения, одиночного и двойного вылетов, соответственно.

Как видно, расходимость составляет $(100 \pm 20) \text{ эВ}$

В диссертации приведен анализ полученных экспериментальных данных.

Основные результаты настоящей работы можно сформулировать более кратко в виде следующих выводов:

I. Создан современный комплекс спектрометрической аппаратуры с ПДД, параметры которого находятся на уровне лучших достижений /10/. Параметры же спектрометров ЭВК и на сегодняшний день являются рекордными /17/. На основе всестороннего анализа роли элементов спектрометра с ПДД /5/ реализованы оптимальные условия для каждой конкретной системы ПДД-предусилитель. Под руководством и при непосредственном участии автора изготовлена электронная аппаратура, которая обеспечивала физические эксперименты в период 1969-1979 гг. /5/. Детально исследованы характеристики всего комплекса спектрометрической аппаратуры и разработан набор тестов для контроля качества системы в целом /11/.

Опыт эксплуатации комплекса спектрометрической аппаратуры с ППЦ лежит в основе организации современной системы сбора, обработки и анализа спектрометрической информации на базе ЭВМ ЕС-1040.

2. Детально исследованы и систематизированы эффекты, иска-
жающие форму аппаратурного спектра альфа-, бета-, гамма- и
х-излучений /II, 17/.

3. Рассмотрены вопросы обработки спектральных линий с помощью ЭВМ и вытекающие из этого анализа следствия при планировании эксперимента /II.17/.

4. Изложена методика прецизионных измерений энергий и относительных интенсивностей дискретных излучений, а также соответствующее программное обеспечение для обработки экспериментальных данных /12-14,17/.

5. Создан согласованный набор нормалей энергий и относительных интенсивностей гамма-лучей и ЭВК, применяемых для калибровки спектрометров с ПЦ /6,13,16,17/, состоящий из следующих нуклидов:

a) гамма-излучение ^{56}Co , ^{75}Se , ^{110m}Ag , ^{133}Ba , ^{134}Cs , ^{144}Ce , ^{152}Eu , ^{153}Gd , ^{160}Tb , ^{169}Yb , ^{171}Lu , ^{173}Lu , ^{182}Ta , ^{192}Ir , ^{207}Bi и ^{226}Ra ;

б) ЭВК - I^{149}_{Gd} , I^{151}_{Gd} , I^{152}_{Eu} , I^{169}_{Yb} , I^{173}_{Lu} и $^{207}_{\text{Bi}}$.

Экспериментальные погрешности измеренных значений энергий составляют (1 ± 10) эВ, интенсивностей - $0,5\pm1,5\%$.

6. Измерены КБК 33 наиболее интенсивных переходов для следующих нуклидов: I^{139}_{Ce} , I^{141}_{Ce} , I^{149}_{Eu} , I^{149}_{Gd} , I^{151}_{Gd} , I^{152}_{Eu} , I^{152}_{Yb} , I^{156}_{Tb} , I^{167}_{Tm} , I^{169}_{Yb} , I^{172}_{Lu} , I^{173}_{Lu} , I^{176}_{Lu} , $^{203}_{\text{Pb}}$ и $^{207}_{\text{Bi}}$. Экспериментальные результаты получены в предположении, что $k = (661,7 \text{ кэВ} - I^{137}_{\text{Cs}}) = 0,0905 \pm 0,0010$. Рекомендуемые значения можно считать нормальными второго порядка при калибровке спектрометров КБК.

7. Систематизированы, проанализированы и опубликованы /18/ 500 аппаратурных спектров альфа-, бета-, гамма- и X-излучений для 200 радионуклидов. Накопленный опыт в наборе материала для подобного атласа позволил сформулировать принципы создания машинного банка аппаратурных спектров.

8. С помощью разработанной спектрометрической аппаратуры и методики измерений с различной степенью полноты исследован радиоактивный распад I^{180} нуклидов /19/. По сравнению с более ранними экспериментами точность измерения энергий гамма-лучей улучшена более чем на порядок, а точность измерения относительных интенсивностей - в 2-4 раза. Данные же о спектрах ЭВК для 95 радионуклидов практически единственные на сегодняшний день. Улучшенные параметры спектрометрической аппаратуры повысили результативность и качество измерений, что, в итоге, привело к открытию более 1000 новых переходов. Полученные данные в той или иной степени использованы при разработке или уточнении 100 схем распада.

9. Детально, с применением практически всех методов классической спектроскопии, исследован радиоактивный распад нечетных нуклидов европия ($A = 145, 147, 149$) и гадолиния ($A = 147, 149, 151$) /20-25/.

Проведено более 200 серий измерений спектров γ -лучей и ЭВК, обнаружено 110 новых переходов и впервые измерены интенсивности более 40 конверсионных линий. Впервые с высокой точностью измерены КБК наиболее интенсивных переходов при распаде I^{149}_{Eu} , I^{149}_{Gd} и I^{151}_{Gd} . С помощью современной аппаратуры исследованы спектры $\gamma\gamma$ - ($I^{145}_{\text{Eu}}, I^{149}_{\text{Gd}}$) и e^-e^+ ($I^{147}_{\text{Eu}}, I^{147}_{\text{Gd}}, I^{149}_{\text{Gd}}$, I^{151}_{Gd}) совпадений. Измерены и проанализированы результаты $\gamma\gamma$ -угловых корреляций при распаде I^{145}_{Eu} и I^{147}_{Eu} . Измерены времена жизни пяти возбужденных состояний I^{147}_{Sm} (два), I^{149}_{Sm} , I^{149}_{Eu}

и I^{151}_{Eu} . Определена энергия распада $I^{147}_{\text{Gd}} \rightarrow I^{147}_{\text{Eu}}$, а также доля альфа-распада I^{149}_{Gd} .

На основе совокупности экспериментальных данных построены схемы распада исследуемых нуклидов. Введено 20 новых состояний, подтверждено 23 и исключено более 10 уровней, предположительно введенных ранее разными авторами. Впервые определены квантовые характеристики 14 состояний.

На основании полученных результатов проведен анализ свойств возбужденных состояний исследуемых ядер. В ядрах самария прослеживается поведение аналогичных уровней с $I^\pi = 7/2^-, 3/2^-, 5/2^-$ в зависимости от увеличения числа нейтронов, в ядрах европия - уровней с $I^\pi = 5/2^+, 7/2^+, 11/2^-, 7/2^+$ и $7/2^-$. Более детальный анализ с привлечением данных ядерных реакций показывает, что существуют состояния многообразной природы: сферические (нижние в I^{145}_{Sm}); состояния, обусловленные связью коллективных движений четно-четного остова с одночастичными и квазичастичными движениями нечетной частицы (первые два в I^{147}_{Sm}); состояния с многочастичной конфигурацией ($995, 12 (9/2^-)$ и $1554, 17 \text{ кэВ} (9/2^-)$ в I^{147}_{Eu}); деформированные состояния (в I^{151}_{Eu}).

10. Впервые по пику полного поглощения при регистрации в $\text{Ge}(\text{Li})$ -детекторах гамма-лучей от захвата тепловых нейтронов водородом выполнено измерение энергии связи дейтрана - $E_D = 2224, 572 \pm 0,040 \text{ кэВ}$. Сравнение этих данных с предыдущими, наиболее точными, результатами указывает на разность, равную $0,095 \pm 0,020 \text{ кэВ}$. Мы предполагаем, что завышение E_D в предыдущих работах вызвано использованием для измерения энергии пика двойного вылета. Из наших данных вытекает, что разность масс $n - I^1_{\text{H}} = 782, 340 \pm 0,040 \text{ кэВ}$ /26/.

ЛИТЕРАТУРА

1. Ц.Вылов, В.В.Кузнецов, Б.П.Осипенко, Д.Срика, Я.Юрковски. $4\pi - \text{Ge}(\text{Li})$ -детектор. а) ОИЯИ, ИЗ-6389, Дубна, 1972 (7 стр.); б) ПТЭ, № 1 (1973) 75-78 (4 стр.).
2. Ц.Вылов, И.Н.Егошин, С.Орманджиев, Б.П.Осипенко, Д.Срика, Я.Юрковски. Спектрометр с $\text{Ge}(\text{Li})$ -детектором для изучения низкоэнергетических гамма-квантов. а) ОИЯИ, ИЗ-6440, Дубна, 1972 (6 стр.); б) ПТЭ, № 3 (1973) 45-46 (2 стр.).

3. Ц.Вылов, И.Н.Егошин, М.Г.Маринов, Т.М.Муминов, Б.П.Осипенко, В.Г.Сандуковский, Д.Срнка, Я.Юрковски. Изготовление и исследование Ge(Li)-детекторов. ОИЯИ, Р13-6759, Дубна, 1972 (16 стр.).
4. Е.Береги, Ц.Вылов, Й.Крацикова, Ли Чен Сон, Б.П.Осипенко, Л.А.Пермякова, В.Г.Тишин. Применение кремниевых детекторов для измерения спектров бета-частиц. ОИЯИ, Р13-6830, Дубна, 1972 (13 стр.).
5. В.С.Александров, Ц.Вылов, Т.М.Муминов, Б.П.Осипенко, С.И.Орманджиев. Оптимизация спектрометрической системы на базе ПДД для измерения энергетического распределения ядерных излучений. ОИЯИ, Р13-7306, Дубна, 1973 (15 стр.).
6. В.С.Александров, Ц.Вылов, Т.М.Муминов, Б.П.Осипенко. Прецизионные измерения энергий и интенсивностей гамма-лучей Ge(Li)-детекторов. ОИЯИ, Р6-7308, Дубна, 1973 (18 стр.).
7. Ц.Вылов, И.Н.Егошин, Т.М.Муминов, Б.П.Осипенко, В.Г.Сандуковский, Я.Юрковски. Поверхностно-барьерные Ge(Li)-детекторы для спектрометрии излучений радионуклидов. ОИЯИ, Р13-10056, Дубна, 1976 (II стр.).
8. С.К.Васильев, Ц.Вылов, Б.П.Осипенко, Я.Юрковски. Полупроводниковый бета-спектрометр с высоким энергетическим разрешением. ОИЯИ, Р13-8026, Дубна, 1974 (12 стр.).
9. Ц.Вылов, И.Н.Егошин, А.Лятушински, Б.П.Осипенко, Я.Юрковски. Германний-литиевые имплантированные детекторы для спектрометрии бета-частиц. ОИЯИ, Р6-8378, Дубна, 1974 (9 стр.).
10. Ц.Вылов, И.Н.Егошин, Е.Т.Кондрат, Б.П.Осипенко, Я.Юрковски, В.В.Аладейчиков, В.С.Александров, С.К.Васильев, В.М.Горожанкин, Ш.Оманов. Спектрометрия излучений радиоактивных нуклидов с помощью ПДД. I. Спектрометрическая аппаратура.
 - а) ОИЯИ, Р6-9071, Дубна, 1975 (39 стр.);
 - б) В сб. "Прикладная ядерная спектроскопия", М., Атомиздат, вып.6 (1976) 3-25.
11. Ц.Вылов, Л.А.Вылова, И.Н.Егошин, А.Ф.Новгородов, С.Орманджиев, Б.П.Осипенко, Я.Юрковски, М.И.Фоминых, В.С.Александров, В.М.Горожанкин, А.И.Иванов, Ш.Оманов. Спектрометрия излучений радиоактивных нуклидов с помощью ПДД. 2. Эффекты, исказяющие форму аппаратурного спектра.
 - а) ОИЯИ, Р6-9072, Дубна, 1975 (58 стр.);
 - б) В сб. "Прикладная ядерная спектроскопия", М., Атомиздат, вып.6 (1976) 26-58.
12. Ц.Вылов, Л.А.Вылова, Н.А.Головков, Б.П.Осипенко, М.И.Фоминых, В.Г.Чумин, В.С.Александров, В.М.Горожанкин, Ш.Оманов. Спектрометрия излучений радиоактивных нуклидов с помощью ПДД. 3. Спектрометрия гамма-лучей.
 - а) ОИЯИ, Р6-9073, Дубна, 1975 (32 стр.);
 - б) В сб. "Прикладная ядерная спектроскопия", М., Атомиздат, вып.6 (1976) 59-78.
13. Ц.Вылов, В.С.Александров, Л.А.Вылова, В.М.Горожанкин, А.Ф.Новгородов, Ш.Оманов, Б.П.Осипенко, М.И.Фоминых, В.Г.Чумин, Я.Юрковски. Спектрометрия излучений радиоактивных нуклидов с помощью ПДД. 4. Нормали энергий и относительных интенсивностей гамма-лучей.
 - а) ОИЯИ, Р6-10414, Дубна, 1976 (26 стр.);
 - б) В сб. "Прикладная ядерная спектроскопия", М., Атомиздат, вып.8 (1978) 3-42.
14. Ц.Вылов, В.С.Александров, Л.А.Вылова, В.М.Горожанкин, М.Еникова, Ж.Желев, Ш.Оманов, Б.П.Осипенко, В.Г.Чумин. Спектрометрия излучений радиоактивных нуклидов с помощью ПДД. 5. Организация экспериментов по измерению спектров гамма-лучей.
 - а) ОИЯИ, Р6-10415, Дубна, 1976 (23 стр.);
 - б) В сб. "Прикладная ядерная спектроскопия", М., Атомиздат, вып.8 (1978) 43-58.
15. Ц.Вылов, В.С.Александров, Ю.А.Андреев, В.М.Горожанкин, А.И.Иванов, Ш.Оманов, Б.П.Осипенко, Э.К.Степанов. Спектрометрия излучений радиоактивных нуклидов с помощью ПДД. 6. Гамма-лучи радиоактивных нуклидов, применяемых для калибровки спектрометров. ОИЯИ, Р6-10416, Дубна, 1976 (26 стр.).
16. Ц.Вылов, С.Бацев, В.М.Горожанкин, И.И.Громова, Н.А.Лебедев, А.Ф.Новгородов, Ш.Оманов, Б.П.Осипенко, В.Г.Чумин, А.Ф.Шусь, Я.Юрковски. Спектрометрия излучений радиоактивных нуклидов с помощью ПДД. 7. Спектрометрия электронов внутренней конверсии. ОИЯИ, Р6-11085, Дубна, 1977 (28 стр.).
17. Ц.Вылов, Б.П.Осипенко, В.Г.Чумин. Прецизионная спектрометрия излучений радиоактивных нуклидов с помощью ПДД. ЭЧАЯ, 1978, т.9, вып.6, 1350-1459.
18. Ц.Вылов, Г.-Ю.Байер, В.М.Горожанкин, Ж.Желев, А.И.Иванов, Р.Б.Иванов, В.Г.Калинников, М.Я.Кузнецова, Н.А.Лебедев, М.А.Михайлова, А.И.Муминов, А.Ф.Новгородов, Ю.В.Норсеев,

- Ш.Оманов, Б.П.Осипенко, Э.К.Степанов, К.Тиме, В.Г.Чумин, А.Ф.Щусь, Ю.В.Юшкевич. Спектры излучений радиоактивных нуклидов ZfK-399 (1979) (500 стр.).
19. Ц.Вылов, В.М.Горожанкин, Ж.Желев, А.И.Иванов, Р.Б.Иванов, В.Г.Калинников, М.Я.Кузнецова, Н.А.Лебедев, М.А.Михайлова, А.И.Муминов, А.Ф.Новгородов, Ю.В.Норсеев, Ш.Оманов, Б.П.Осипенко, Э.К.Степанов, В.Г.Чумин, А.Ф.Щусь, Ю.В.Юшкевич. Спектры излучений радиоактивных нуклидов. Изд. ФАН, Ташкент, 1979 (600 стр.).
20. Ц.Вылов, Ш.Оманов, Я.Саржински, В.С.Александров, Н.Б.Бадалов, А.И.Муминов, М.Суботович, Хан Хен Мо, Ю.В.Юшкевич. Исследование распада $^{145}\text{Eu} \rightarrow ^{145}\text{Sm}$. ОИЯИ, Р6-11847, Дубна, 1978 (21 стр.).
21. Ц.Вылов, Ш.Оманов, Я.Саржински, В.В.Кузнецов, О.И.Кочетов, Н.Б.Бадалов, Р.Р.Усманов, Н.А.Лебедев, У.С.Салихбаев, Ю.В.Юшкевич. Изучение распада $^{147}\text{Eu} \rightarrow ^{147}\text{Sm}$. ОИЯИ, Р6-11848, Дубна, 1978 (29 стр.).
22. Ц.Вылов, Ш.Оманов, В.С.Александров, Н.Б.Бадалов, Н.А.Лебедев, У.С.Салихбаев, Ли Су Чен. Изучение распада $^{149}\text{Eu} \rightarrow ^{149}\text{Sm}$. Тезисы докладов XXIX совещания по ядерной спектроскопии и структуре атомного ядра, Л., "Наука", 1979, с.92.
23. Ц.Вылов, Ш.Оманов, В.С.Александров, Н.Б.Бадалов, А.Будзяк, В.В.Кузнецов, А.И.Муминов. Исследование распада $^{147}\text{Gd} \rightarrow ^{147}\text{Eu}$. а) ОИЯИ, Р6-12224, Дубна, 1979 (21 стр.); б) Изв. АН СССР, сер. физ., 44, 67-79, (1980).
24. Ц.Вылов, Ш.Оманов, В.С.Александров, Н.Б.Бадалов, В.В.Кузнецов, Р.Р.Усманов, Хан Хен Мо. Изучение радиоактивного распада $^{149}\text{Gd} \rightarrow ^{149}\text{Eu}$. ОИЯИ, Р6-12144, Дубна, 1978 (21 стр.); а) ОИЯИ, Р6-12144, Дубна, 1978 (21 стр.).
25. Ц.Вылов, Ш.Оманов, Н.Б.Бадалов, С.Бацев, А.Будзяк, В.В.Кузнецов, У.С.Салихбаев, Хан Хен Мо. Исследование распада $^{151}\text{Gd} \rightarrow ^{151}\text{Eu}$. Тезисы докладов XXIX совещания по ядерной спектроскопии и структуре атомного ядра, Л., "Наука", 1979, с.94.
26. Ц.Вылов, К.Я.Громов, А.И.Иванов, Б.П.Осипенко, Е.А.Фролов, В.Г.Чумин, А.Ф.Щусь, М.Ф.Юдин. Новое измерение энергии связи дейтрона.
а) ОИЯИ, Р6-11675, Дубна, 1978;
б) Ядерная физика, т.28, вып.5 (1978) II37-II43.

Рукопись поступила в издательский отдел
12 февраля 1980 года.